

ПЕРЕОБЛІК 20 р.

Проверено
1947 г.

Паркетано
1950 г.

Проверено
1958 г.

График

П-82

Определение средней аэродинамической хорды (практический прием)

(Wagnet - Aviation Handbook, 1931, стр. 111-113).

Т

ПРОВЕРНО
1952 г.

Научно-техническая
библиотека
"ХАН"



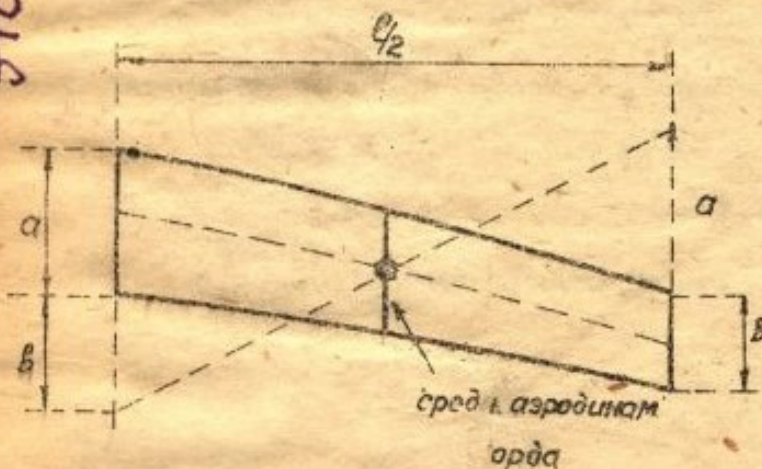
kn0003995

Средней аэродинамической хордой, называется хорда воображаемого крыла, результирующая сила давления воздуха, на который для всех режимов полета идентична с силой давления изучаемого крыла. Заменой данного крыла, таким образом, некоторым воображаемым не дает возможности совершенно точно определить силы аэродинамических давлений, но дает возможность при отсутствии данных опытного изучения оценить силы давления воздуха на проектируемое крыло.

а) Прямоугольное крыло.

Средняя геометрическая хорда идентична с хордой крыла и имеет то же расположение

б) Трапециевидное крыло.



Фиг. 1

ПЕРЕОБЛІК 20120.

Средняя а. хорда проходит

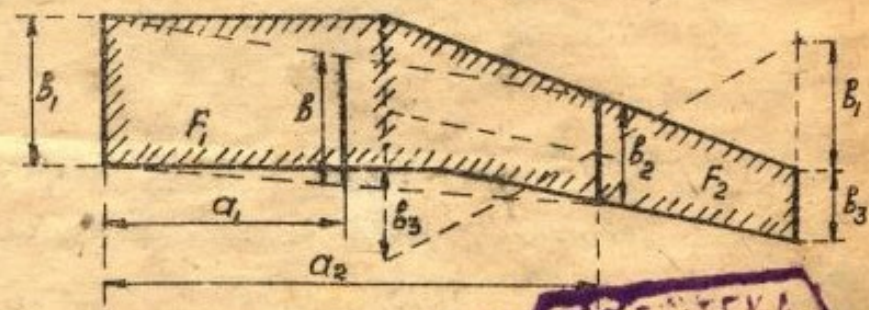
через центр тяжести. Площади крыла, передняя и задняя кромки ее лежат на прямых соединяющих передние и задние кромки среднего и концевого профилей.

в) Тоже с центропланом.

Средняя а. хорда в исходится построениями, указанными на фиг. 2, пользуясь уравнением

$$a_1(F_1 + F_2) = a_2 F_2,$$

по которому находятся а. и



Фиг. 2.

зависящая от α , величина хорды b .

d) Биплан.

Площадь эквивалентного моноплана получается следующим способом, пользуясь фиг. 3.

Обозначая $e = \frac{C_{y_1}}{C_{y_2}}$,

F_1 - площадь верхнего крыла

F_2 - " нижнего "

b_1 - средняя аэродинамическая хорда верхнего крыла,

b_2 - средняя аэродинамическая хорда нижнего крыла.

При определении площадей крыльев F_1 и F_2 включается 0,5 площади приходя-

щейся на фюзеляж и 0,25 площади моторной гондолы.

Получим среднюю аэродинамическую хорду коробки биплана:

$$b = \frac{e \cdot b_1 F_1 + b_2 F_2}{e F_1 + F_2}$$

на высоте h_1 от нижнего крыла, определяемой выражением:

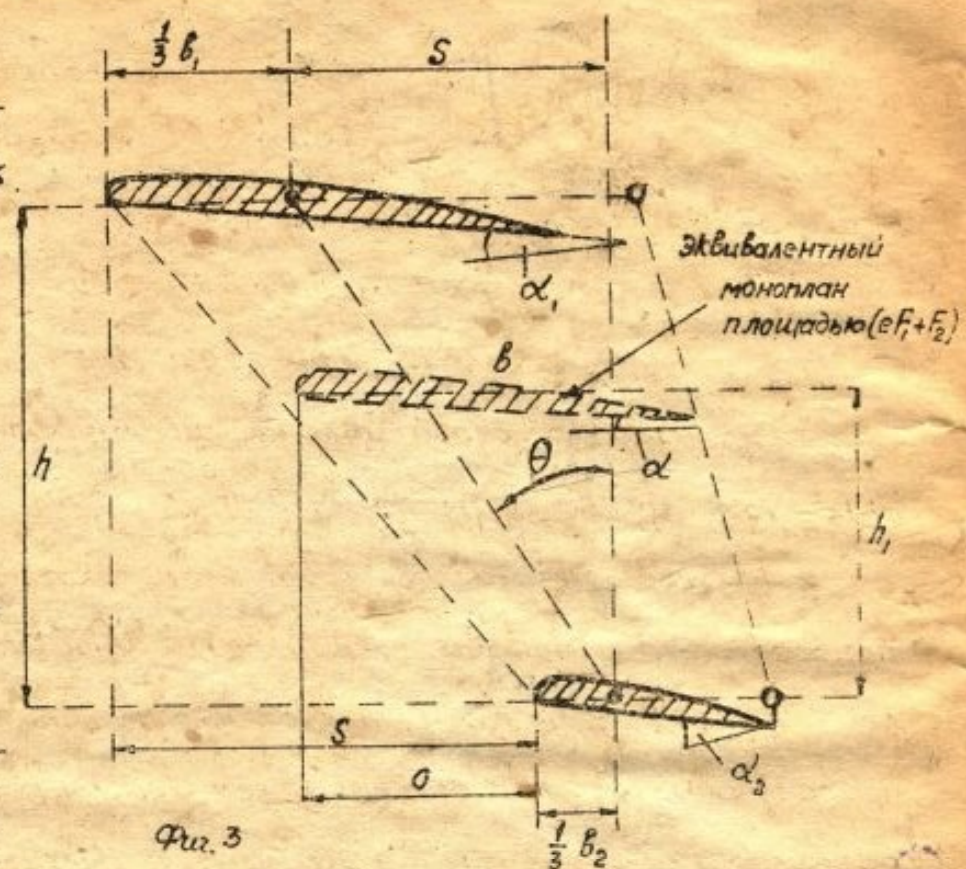
$$h_1 = \frac{h \cdot e \cdot F_1}{e F_1 + F_2}; \quad O = \frac{s \cdot h_1}{h}$$

Если углы атаки верхнего крыла α_1 , нижнего крыла α_2 , то угол атаки эквивалентного моноплана

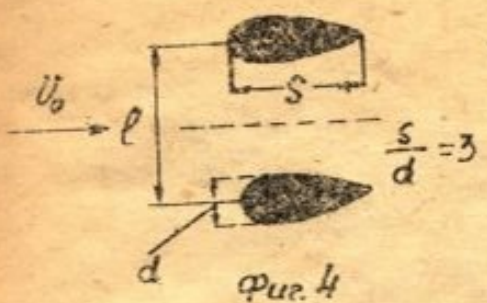
$$\alpha = \frac{\alpha_1 F_1 + \alpha_2 F_2}{F_1 + F_2}$$

v) Интерференция частей аэроплана

Части аэроплана, расположенные близко одна от другой, влияют на изменение формы движения воздуха обтекающего их; этим можно создать как увеличение, так и уменьшение сопротивления их.



Фиг. 3



1. Сопротивление двух стоек с толщиной d , находящихся на расстоянии l , зависит от отношения $\frac{l}{d}$.

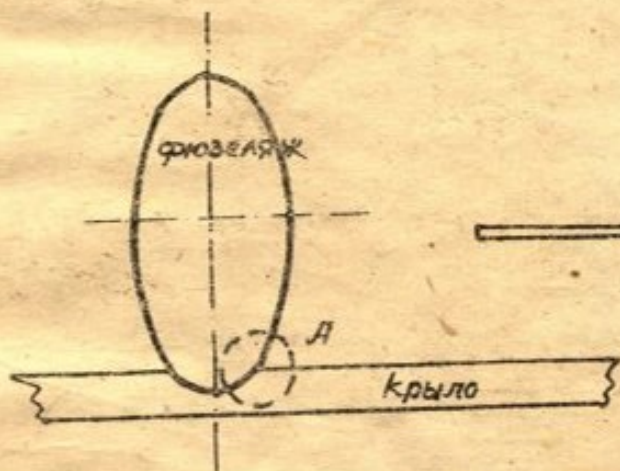
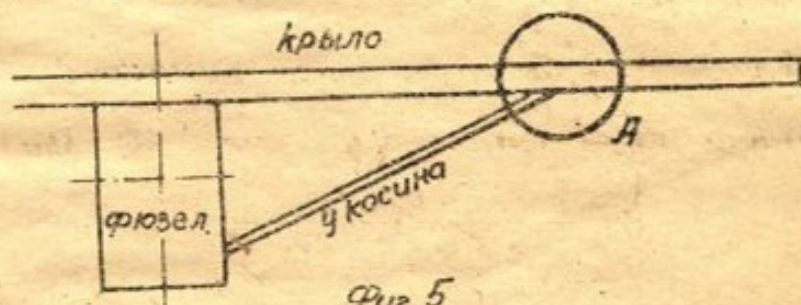
Принимая сопротивление изолированной стойки = 1, получим сопротивление стойки близко другой:

$$\frac{l}{d} = \infty; 4.9; 3.97; 2.89$$

$$R = 1; 1.04; 1.08; 1.10$$

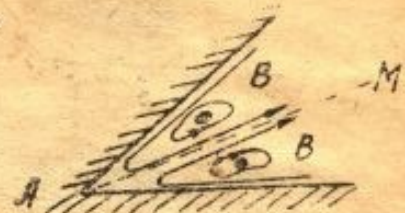
Таким образом, сопротивление увеличивается на 10% при сближении стоек на расстояние = $2.89 d$.

2. Интерференция в особенности оказывается значительной при присоединении частей между собой, при присоединении стоек к крылу, крыла к фюзеляжу, в особенности значительно влияние, если части присоединяются под острым углом (см. фиг. 5, 6 место А). При этом образуется канал расширяющийся к выходу.



При движении в таком, расширяющемся канале создаются добавочные сопротивления.

При движении между двумя плоскостями сходящимися под острым углом (фиг. 7), в углу потери энергии значительно увеличиваются, поэтому создаются движения к вершине угла по обоим плоскостям, выходящие внутри угла по линии АМ.



Фиг. 7

В результате этих движений образуются вихревые движения В. В (фиг. 7) являющиеся источником дополнительного сопротивления. В случае образования острого угла при присоединении крыла к фюзеляжу (фиг. 6) образующиеся завихрения вредны не только тем, что онивлекут за собой добавочные сопротивления, но они вызывают аэродинамические удары в хвостовой части (бафтинг)*) вызывающие значительные механические воздействия, вызывающие иногда разрушения частей самолета.

Устранение вредного влияния острых углов достигается обтекателями (зализы, фрейрины) (см. фиг. 8 и 9) [фиг. 9 см. стр. 5]

Обтекатели должны так заполнять углы, чтобы устранило было расширение струи, протекающей вдоль обтекателя

Более подробно см. Справочник авиаконструктора Г. стр. 295-306)

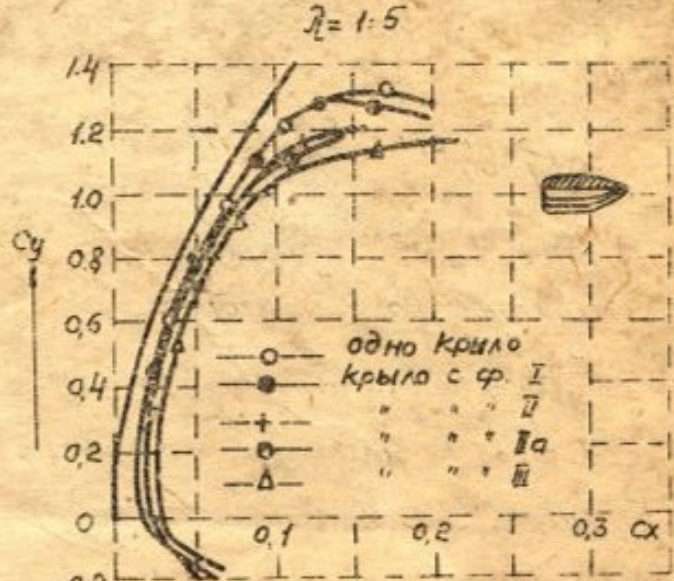
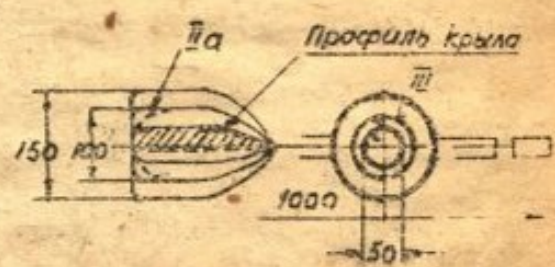
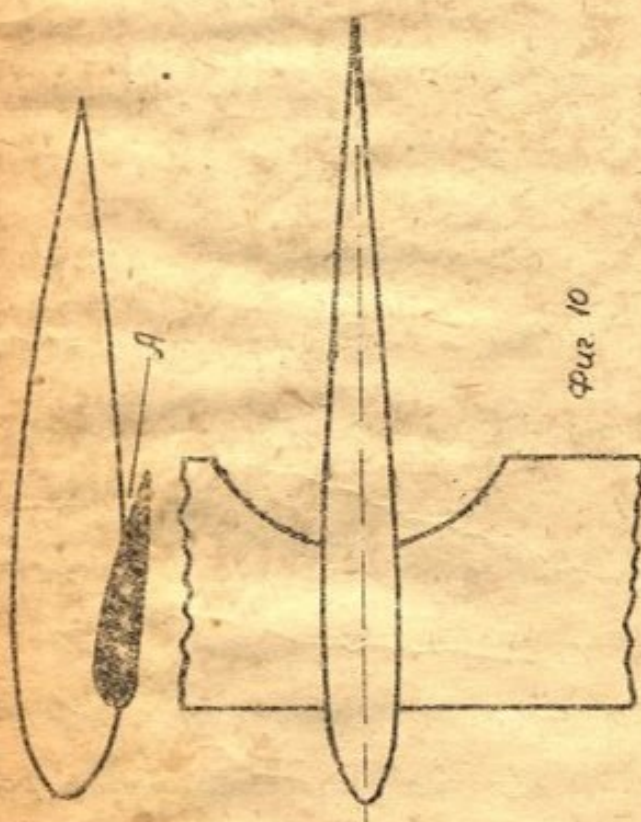
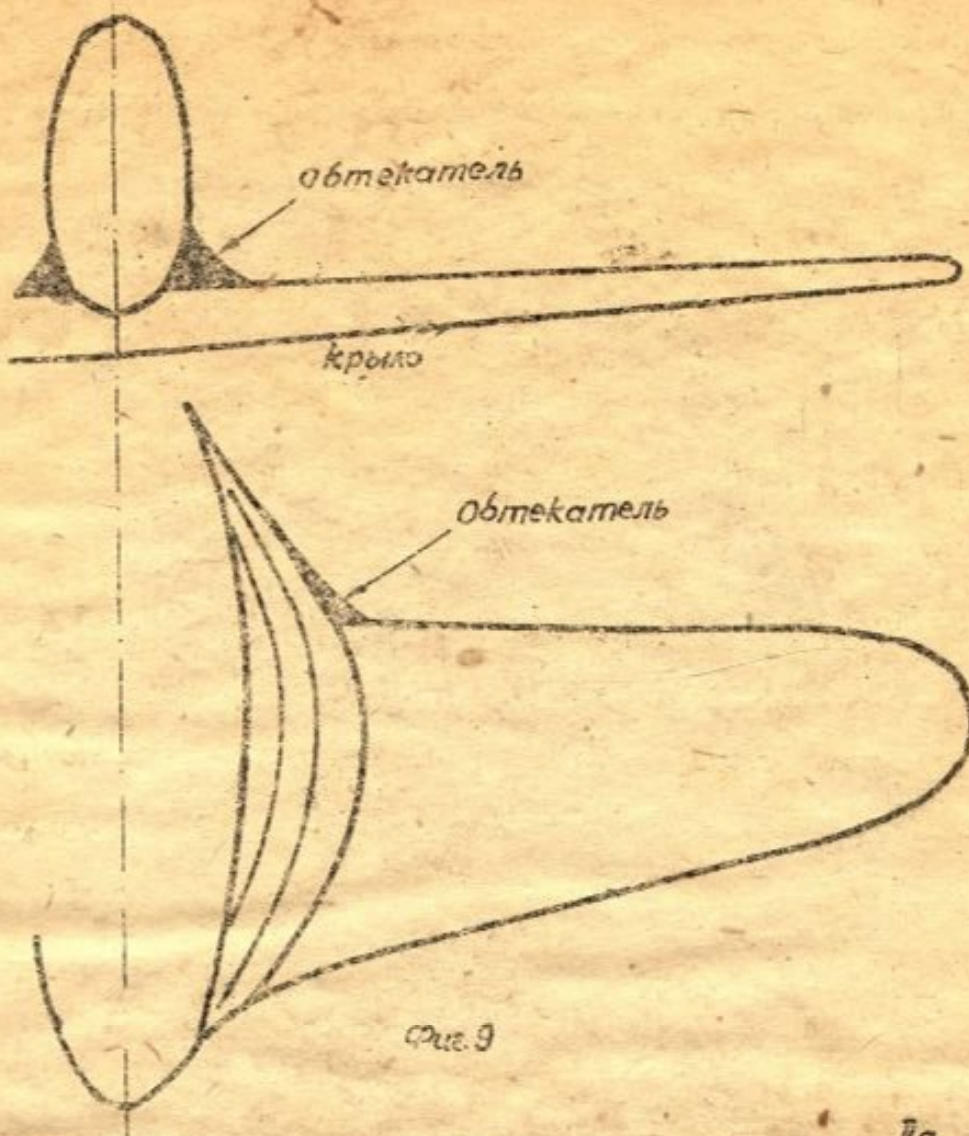


Фиг. 8

3. При нижнем расположении крыла (фиг. 10, см. стр. 5) значительное сопротивление получается, если между фюзеляжем и крылом образуется пространство А. В данном случае рекомендуется в этом месте срезать крылья, как указано в плане фиг. 10.

4. Большее влияние на сопротивление оказывает форма и расположение гондолы на крыле. На фиг. 11а, б (стр. 5) представлена форма модели и результаты изучения ее, из которой видно влияние

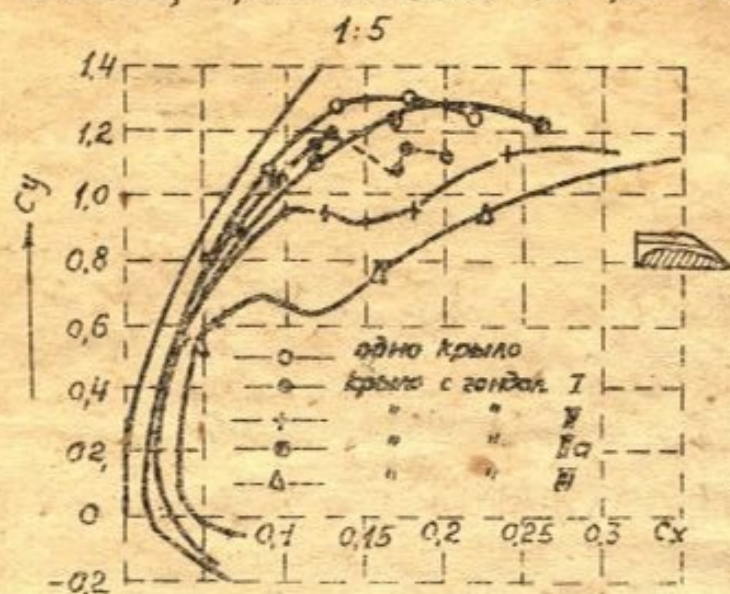
*.) См. об этом ниже



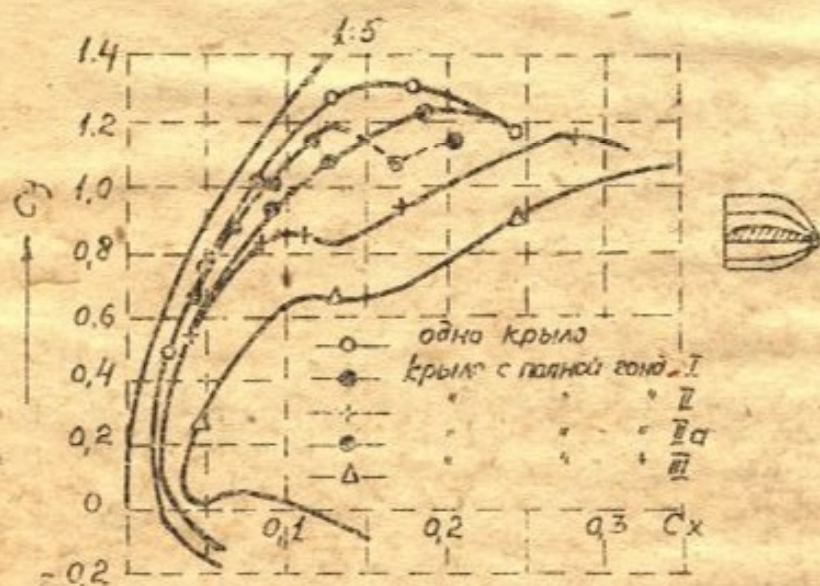
(Крыло с нижней половиной тоньше)

формы и величины гондолы.

На фиг. 11в представлены характеристики, когда применено нижняя половина гондолы, представленной на фиг. 11а.



Фиг. 12. Крыло с верхней половиной гондолы

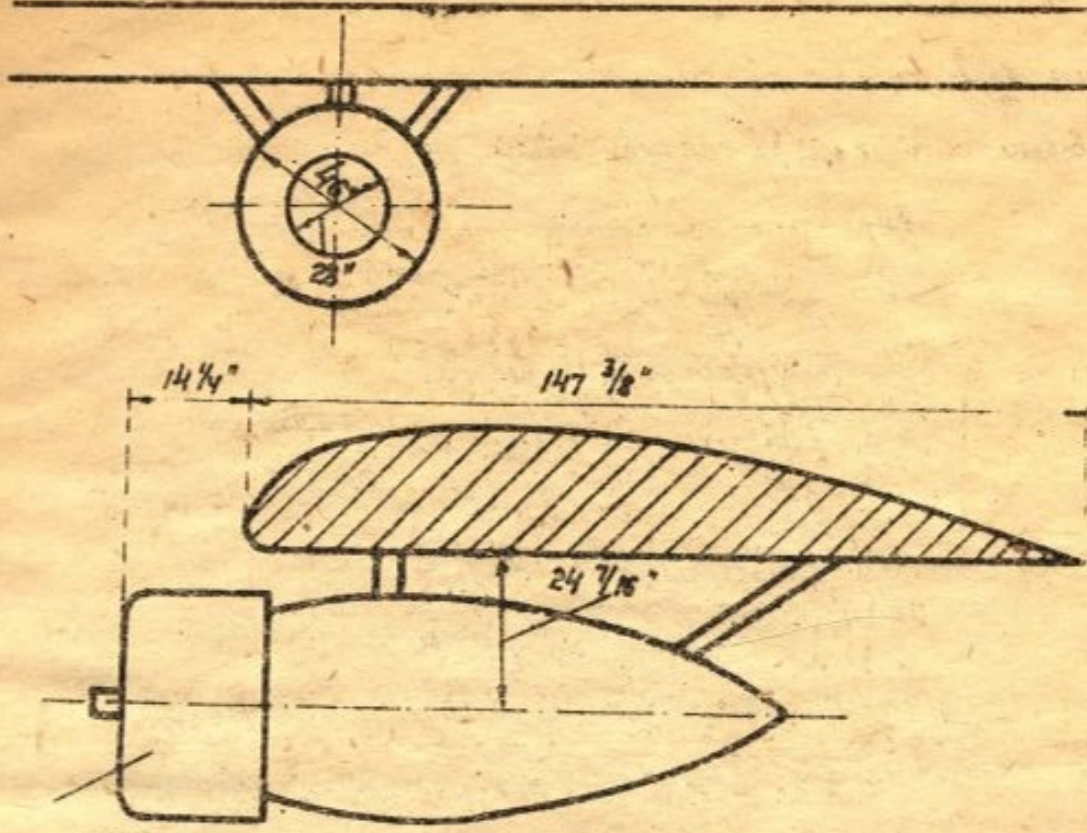


Фиг. 13. Крыло с полной гондолой.

Из сравнения фиг. 11в, 12 и 13 видно преимущество нижнего расположения гондолы.

Аналогичные опыты проведены в США в Лэнглей Фильд, представлены на фиг. 14, 15 и 16 (см. стр. 7).

На фиг. 15 и 16 приведены значения сопротивления крыла вместе с гондолой без сопротивления крыла испытанного изолировано (без гондолы), таким образом, на этих фигурах представлено сопротивление гондолы находящейся в присутствии крыла. Сравнение Е и Д, F и С

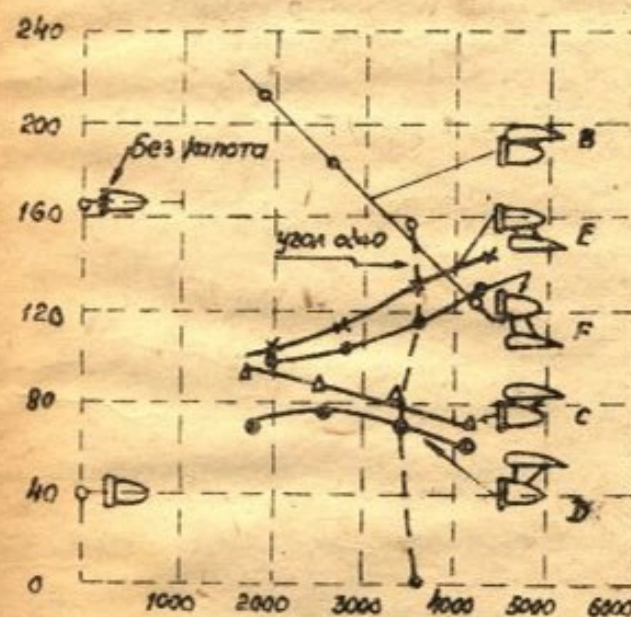


Капот НАСА

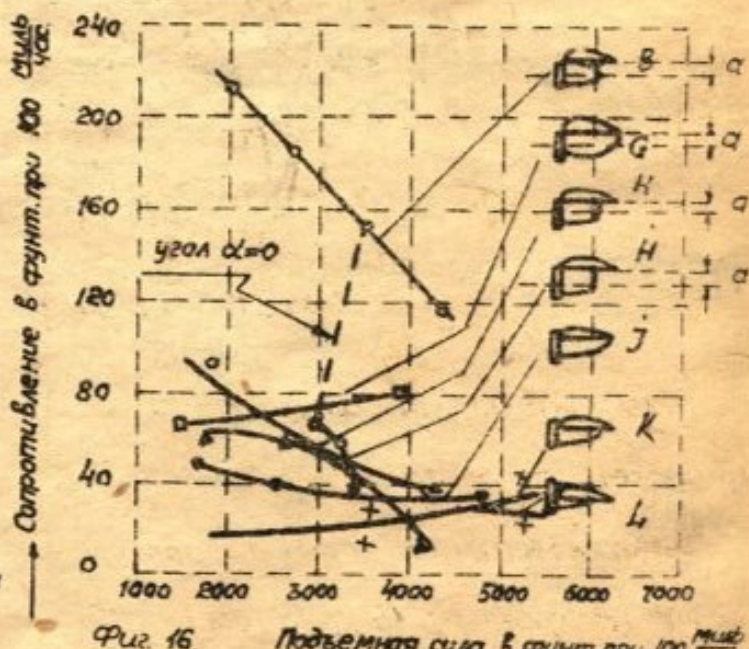
Фиг. 14

Общий вид модели с нижним расположением гондолы.

Сопротивление в фунтах при 100 миль/час.



Фиг. 15. Подъемная сила в фунт при 100 миль/час.



Фиг. 16. Подъемная сила в фунт при 100 миль/час.

(фиг. 15) показывает влияние крыла на сопротивление гондолы; находящиеся гондолы сверху крыла в ускоренном потоке приводят к увеличению сопротивления по сравнению с положением гондолы под крылом в замедленном потоке. На фиг. 16 (G до L) гондола и крыло соединены в

единую конструкцию; это приводит к значительному уменьшению сопротивления гондолы, особенно в случае J, K и L.*)

Примечание: Значение обтекателей по фиг. 8 и 9 уменьшается при увеличении гладкости поверхностей взаимно премыкающих частей.

При полированных поверхностях не требуется применения развитых обтекателей.

4. Штифты, тормоза, чаны.

В быстроходной авиации необходимы временно действующие устройства имеющие своей целью уменьшение скорости полета для создания безопасных условий взлета и посадки.

Значительное уменьшение скорости полета требует значительного увеличения C_y тах.

Из выражения веса самолета:

$$G = \rho \cdot C_y \text{ тах.} \cdot S \frac{V_0^2}{2} = C_y \text{ тах.} \frac{\rho}{2} V_0^2 \cdot S$$

при взлете или посадке и

$$G = \rho C_y S \frac{V_f^2}{2} = C_y \rho S$$

при нормальном режиме полета; получается соотношение:

$$\frac{C_{y\text{ тах}}}{C_y} = \left(\frac{V_0}{V_f \text{ min}} \right)^2$$

* Более подробно по вопросу интерференции крыла и фюзеляжа см. NASA Report N-540 и 575.

Принимая $\frac{U_0}{U_{0\text{ тип}}} = 3,5$, получим.

$$\frac{C_{y\text{ max}}}{C_y} = 12,2$$

Для обычного крыла при числах Рейнольдса $R_e \sim 8 \cdot 10^6 - 10 \cdot 10^6$

$C_{y\text{ max}} = 1,2 - 1,4$; при этом при нормальном полете $C_y = 0,100$.

В современных высокоскоростных самолетах C_y принимается 0,150 до 0,260; при $\frac{U_0}{U_{0\text{ тип}}} = 3,5$ значение $C_{y\text{ max}} = 1,82$ до 3,0.

Таким образом неизбежны специальные устройства для повышения $C_{y\text{ max}}$ нормального крыла.

Устройства эти бывают следующих типов:

1 - разрезные крылья, предкрышки, пред- и закрышки,

2 - щитки,

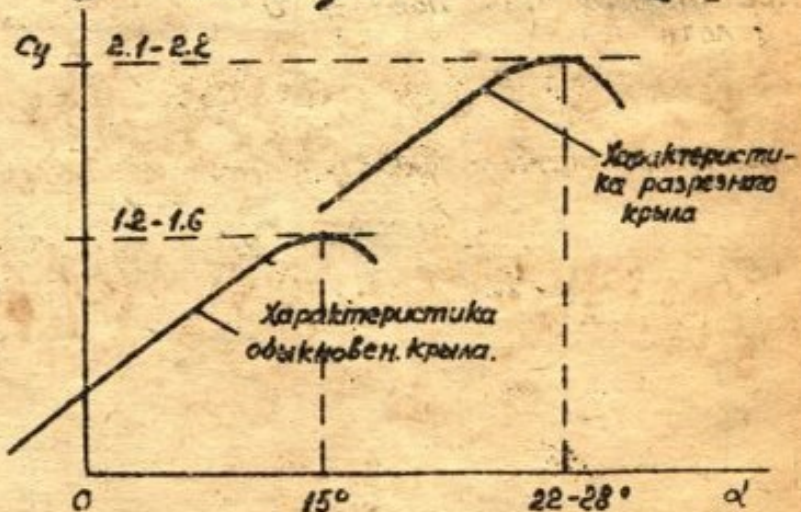
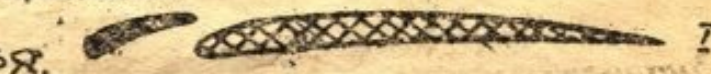
3 - крылья переменной площади (Щитки: Чап, Фаулер, Гал),

4 - предкрылок в соединении со щитками.

1. Разрезные крылья.

Действием щели на течение в пограничном слое достигается более устойчивое движение в пограничном слое, вследствие чего отрыв потока наступает при значительно большем угле атаки чем у простого крыла.

Характеристика разрезного крыла получается, как продолжение характеристики простого крыла (фиг. 18) с отрывом потока при угле атаки $\alpha \approx 22^\circ - 28^\circ$.

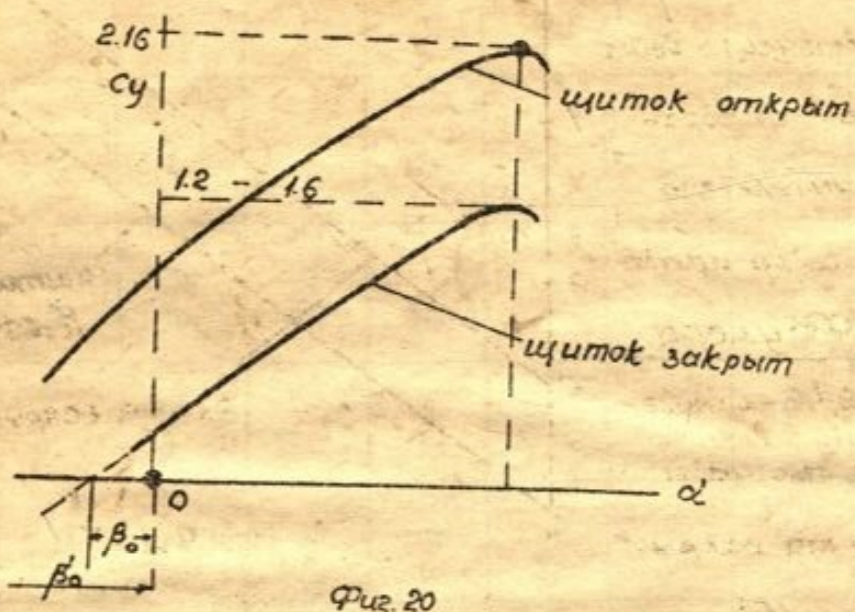
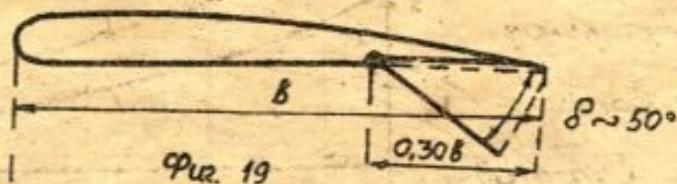


На фиг. 17 приведены результаты испытания некоторых форм разрезных крыльев с предкрылком и закрылком. Наиболее эффективно получается крыло при устройстве предкрылка с закрылком.

Наименование крыла	Угол отклонения закрылка (в градусах) δ_3	$\frac{C_y}{C_x}$ (%)	Суммах	$\frac{C_y}{C_{x\min}}$	$(\frac{C_y}{C_x}) \cdot \text{Суммах}^2$	Увеличение подъемной силы (%)		Увеличение (в %)
						7	8	
Немеханизированное крыло 1)	-	-	1,291	85,0	7,6	15	-	427
Крыло с закрылком	45	30	1,950	128,2	4,0	12	51	427
Крыло с разрезным закрылком и козырьком	45	30	1,980	120,5	4,0	12	53	427
Многоразрезное крыло с закрылком.	45	30	2,442	117,5	4,0	16	89	427
Крыло с неподвижным предкрылом	-	-	1,772	73,8	5,3	24	37	427
Крыло с неподвижным вспомогательным крыльышком НАСА 3)	0	145	1,705	104,5	~3,5	24	32	428
Крыло с наивысшейшим неподвижным предкрылом НАСА 3)	1	1	1,648	76,4	-	24	27	428
Крыло с автоматическим предкрылом команди Лейджен	16,2 ³⁾	114,2 ³⁾	1,629	5	-	28	26	400
Крыло с предкрылом и зонтиком	45	30	2,182	91,0	3,8	19	69	427

2. Щитки.

Действие щитка основано на том, что при открытом щитке увеличивается кривизна профиля; поэтому характеристика перемещается вверх

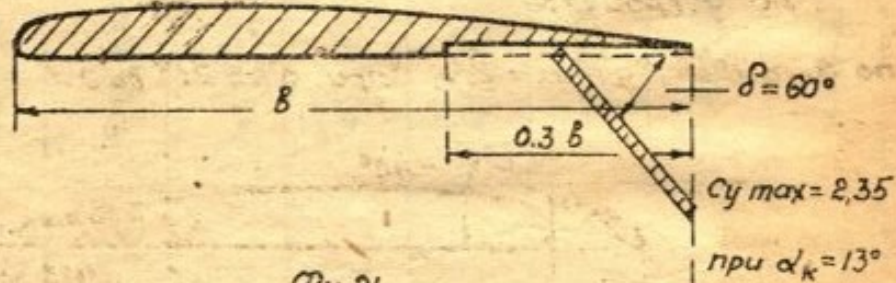


как указано на фиг. 20 от этого увеличивается $C_{L\max}$ до значения = 2,16

3. Передвинговые щитки. (Крылья с переменной площадью)

а) Щиток Чап (Зар)

Щиток Чап имеет преимущество перед обычным щитком (фиг. 20) в конструктивном отношении, вследст-



вии уменьшения силы перемещающей щиток.

Как простой щиток, так и щиток Чап, создают большое тормозящее действие вследствие значительного разрежения воздуха сзади щитка, достигающего величины $\frac{1}{2}q$

Характерно изменение давления и разрежение при открытием

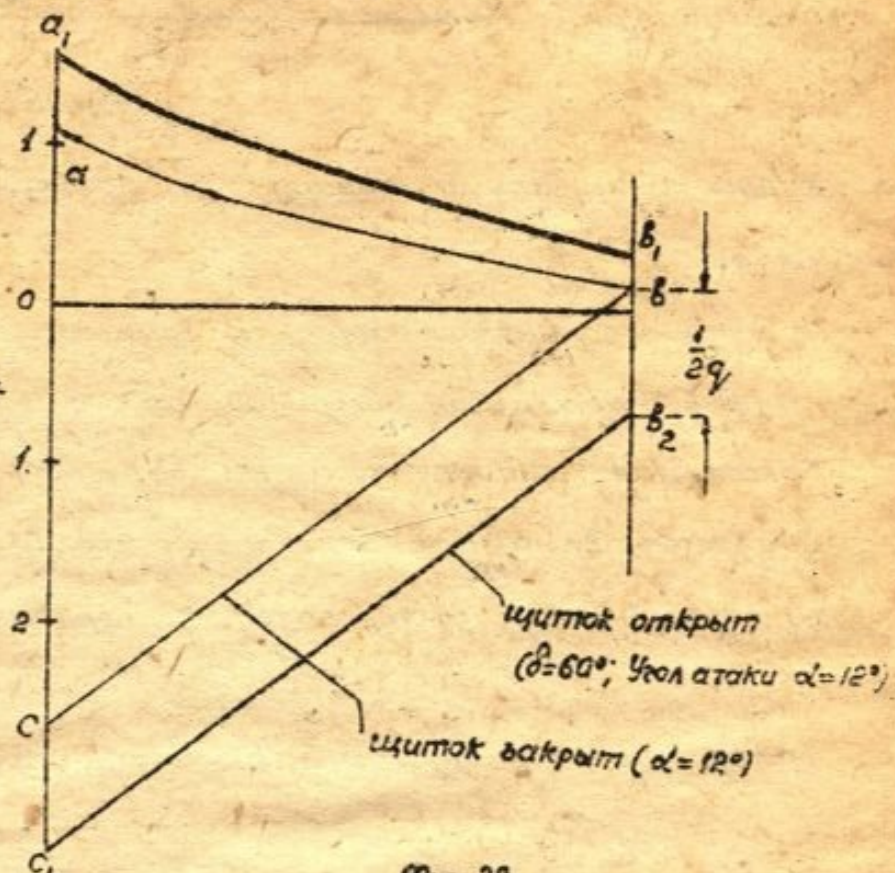
щитке (фиг. 22). При $C_{\text{у}} \text{max} (\alpha \sim 14^\circ)$ при открытом щитке разрежение возрастает на всем профиле \sim на $\frac{1}{2}\delta$; также возрастает и давление на верхней стороне профиля. Этим определяется значительное увеличение поддергивающей силы. Сопротивление и тормозящее действие происходит от образования значительного разрежения сзади щитка.

В) Щиток Фаулера.

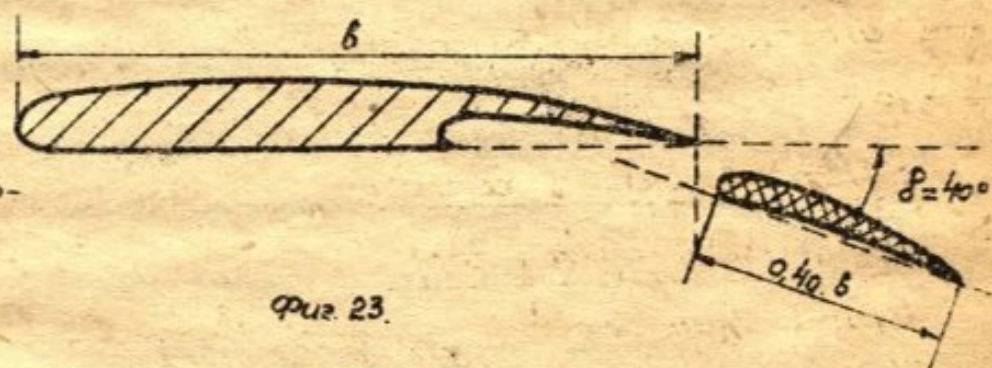
$C_{\text{у}} \text{max} = 2,42$ - отнесено к полной площади крыла, включая закрылок, при $\alpha_k = 15^\circ$.

Устройство предкрылка при щитке Фаулера не дает большого эффекта.

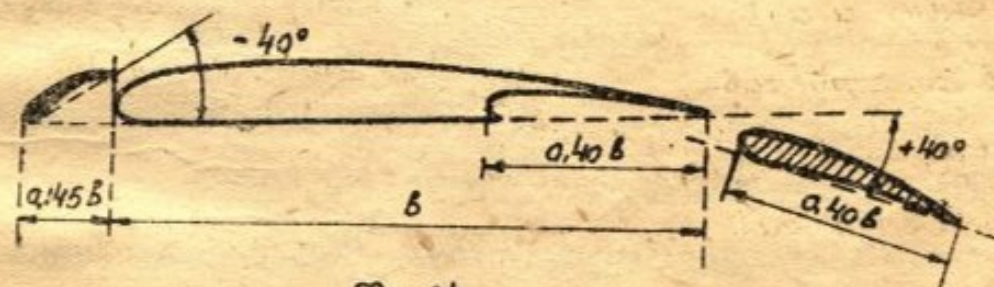
При устройстве по фиг. 24 $C_{\text{у}} \text{max} = 2,49$ при $\alpha_k = 21^\circ \text{ до } 25^\circ$



Фиг. 22.



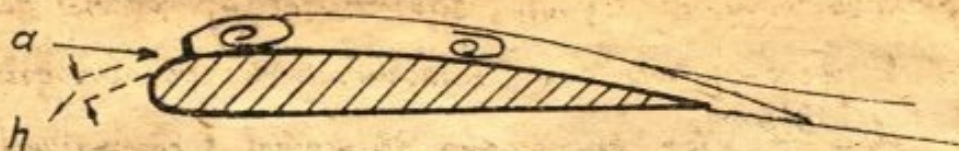
Фиг. 23.



Фиг. 24

5. Интерсептор (преградитель)

Небольшая пластина α на крыле создает обрыв потока, вследствие чего уменьшается C_u и увеличивается C_x . Влияние интерсептора на



Фиг. 25

характеристики крыла зависят от положения его на крыле и от высоты его h .

Положение интерсептора на нижней поверхности крыла оказывает очень небольшое влияние на C_u и небольшое на C_x .

Положение интерсептора на верхней стороне крыла оказывает значительное влияние на C_u и C_x ; это влияние тем больше, чем ближе расположен интерсептор к переднему краю крыла (NASA, Rep. N-446).

Далее прочесть справочник Авиаконструктора I, стр. 139-159

IV. Переход от модели к натуре^{x)} (масштабный эффект)

При изучении моделей в аэродинамических трубах весьма существенным является получение характеристик действительной машины, по которым находятся значения поддерживающей силы и силы сопротивления ее или значения их коэффициентов C_u и C_x . Коэффициент C_u при небольших углах атаки определяется формой потенциального потока вне пограничного слоя и поэтому не зависит от размеров модели. В этом случае C_u зависит только от формы модели и угла атаки α .

При значительных углах атаки нарушается устойчивость движения в пограничном слое; движение это определяется вязкостью жидкости и турбулентностью внешнего потока. При больших углах атаки зависимость C_u от α не подчиняется закону потенциального потока но определяется только движением в пограничном слое. Для практических целей имеет главное значение в данном случае больших углов атаки значение $C_{u\max}$ и зависимость $C_{u\max}$ от размеров модели. По закону ³³ рассматривается случай незначительных чисел Берстру ($\frac{U}{\delta}$)

динамического подобия Сутах, зависящее от формы движения вязкой жидкости в пограничном слое, находится в зависимости от числа Рейнольдса $Re = \frac{U \cdot b}{\mu}$. Так как форма движения в пограничном слое зависит также от формы модели, то Сутах находится в зависимости от обоих указанных факторов: от Re и от формы модели.

Коэффициент сопротивления $C_x = C_1 + C_2$ состоит из двух частей: C_1 - коэффициент индуктивного сопротивления, определяемый формой потенциального движения и независящий от формы движения в пограничном слое и размеров модели.

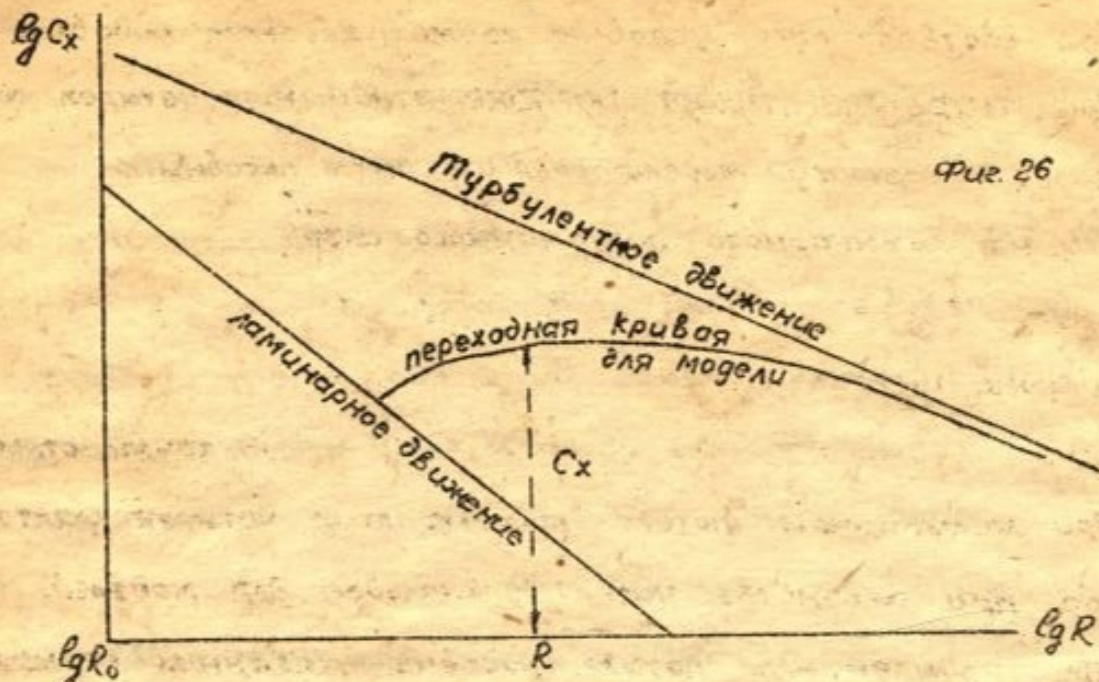
C_2 - коэффициент сопротивления формы - зависит от движения в пограничном слое и зависит поэтому от формы модели и от числа Рейнольдса Re .

Таким образом коэффициент C_x зависит от формы модели и числа Рейнольдса Re .

В настоящее время теоретическое нахождение зависимостей Сутах и C_x от Re и формы модели не представляется возможным с точностью, необходимой для практических целей, поэтому применяется для этой цели исключительно метод опытного изучения модели в аэrodинамических трубах. Как указано было выше (вып. I) большое значение имеет турбулентность потока в аэродинамической трубе.

Турбулентность и число Рейнольдса в отношении аэродинамических характеристик тела являются факторами масштабного эффекта (scale effect), при этом изменение числа Рейнольдса приводится к влиянию турбулентности. Влияние турбулентности с одной стороны приводится к увеличению действительной вязкости ($\bar{\tau} = \mu \frac{du}{dy}$); при увеличении числа Рейнольдса коэффициент сопротивления тела непрерывно и постепенно изменяется, находясь в зависимости от изменения отношения толщины пограничного слоя к длине тела (числа $3/42$) (фиг. 60 на стр. 14).

С другой стороны влияние турбулентности оказывается на



Фиг. 26

переходе от ламинарного к турбулентному течению в самом пограничном слое. При малой турбулентности точка перехода от ламинарного к турбулентному течению в пограничном слое находится дальше от точки отекания (разветвления); при этом большей протяженности ламинарный слой создает условие для более раннего отрыва. В этом кроется эффект раннего срыва, наблюдаемого при опытах с шаром и при определении максимума подъемной силы крыла (Сутах).

Приведение коэффициентов сопротивления к действительному числу Рейнольдса получается произведением

коэффициента (фактора) турбулентности трубы на число Рейнольдса модели.

$$\text{Коэффициент (фактор) турб. трубы} = \frac{385000}{R_{\text{шаре, при } C_x=0,30}}$$

Примеры сопоставления C_x и Сутах крыльев НАСА 23012 и 2412 ($R = 558$), найденных при испытании их в разных трубах показывают, что C_x и Сутах в функции R располагаются на общей кривой, представляющей закон изменения C_x и Сутах в зависимости от R .

Условия геометрического подобия различны при ламинарном и турбулентном потоках.

При ламинарном потоке равенство чисел Рейнольдса

моделей соответствует условию геометрического подобия моделей.

При турбулентном потоке отношения четырех основных размеров к размеру модели должны быть подобны:

- | | | | |
|---|---|---|--------------------|
| 1. толщина ламинарного пограничного слоя, | " | " | " |
| 2. длина | " | " | " |
| 3. толщина турбулентного | " | " | " |
| 4. длина | " | " | " до точки отрывка |

При ламинарном потоке подобие этих четырех факторов получается при равенстве чисел Рейнольдса для моделей.

При турбулентном потоке, подобие указанных четырех факторов соблюдается при равенстве действительных чисел Рейнольдса для моделей, определяемых испытанием шара в с. трубе: действительное число Рейнольдса = $\frac{385000}{R_e \text{ шара при } C_x=0.30}$ х число Рейнольдса модели.

Это допущение объясняется тем, что при равенстве $C_x=0.30$ при разных значениях R_e шара для разных труб предположно допущение одинакового состояния движения в пограничном слое шара; поэтому при переходе к потоку с иной турбулентностью для сохранения подобия потока необходимо привести турбулентность трубы к турбулентности нового потока. Это достигается приведением числа Рейнольдса модели, как указано выше, умножением его на коэффициент (фактор) турбулентности трубы к числу Рейнольдса нетурбулентного потока.

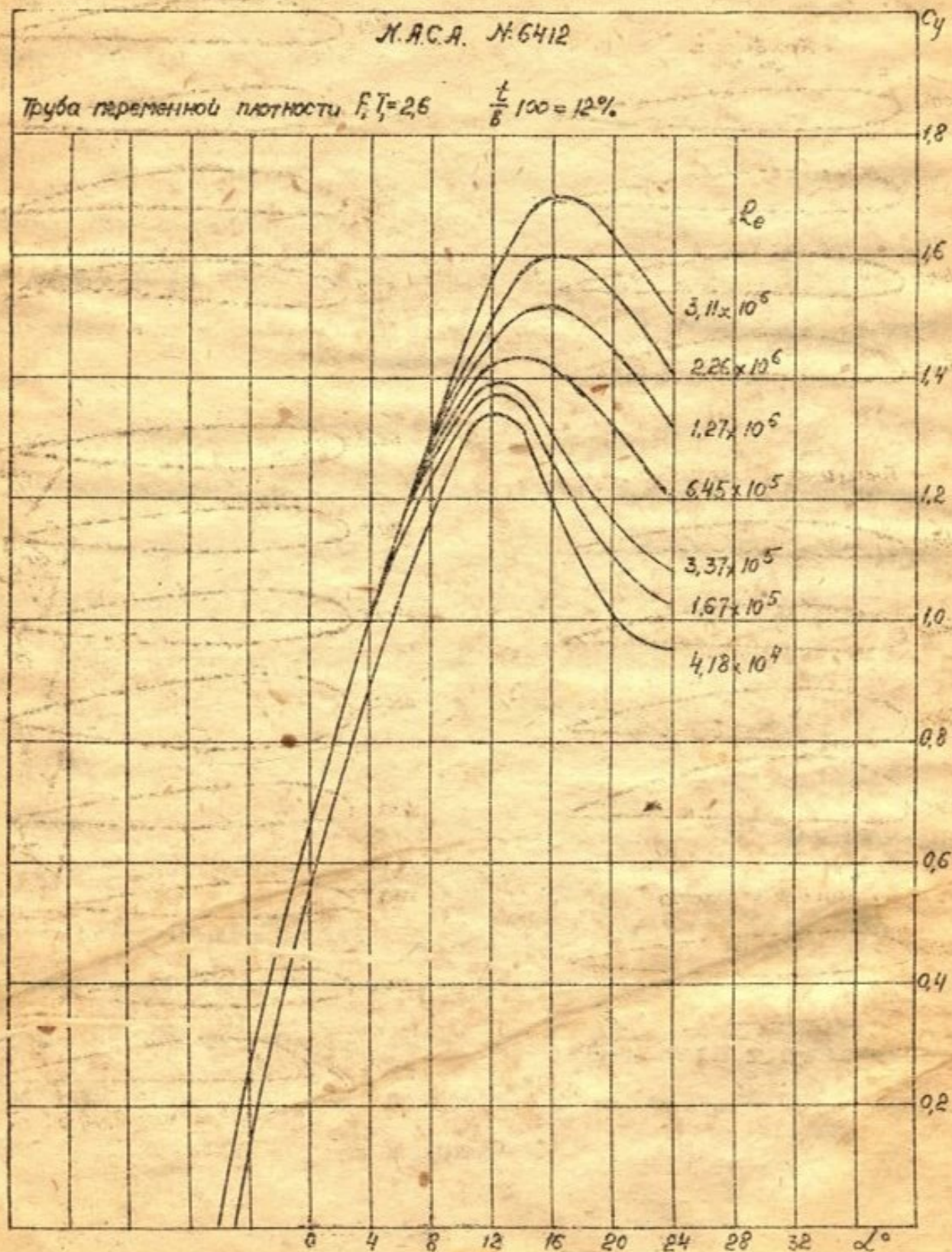
Указанный прием приведения турбулентности потока трубы к значению естественного потока дает возможность пересчета аэродинамических характеристик модели для получения действительных характеристик в полете. Для этой цели необходимо знание зависимости аэродинамических характеристик от действительного числа Рейнольдса.

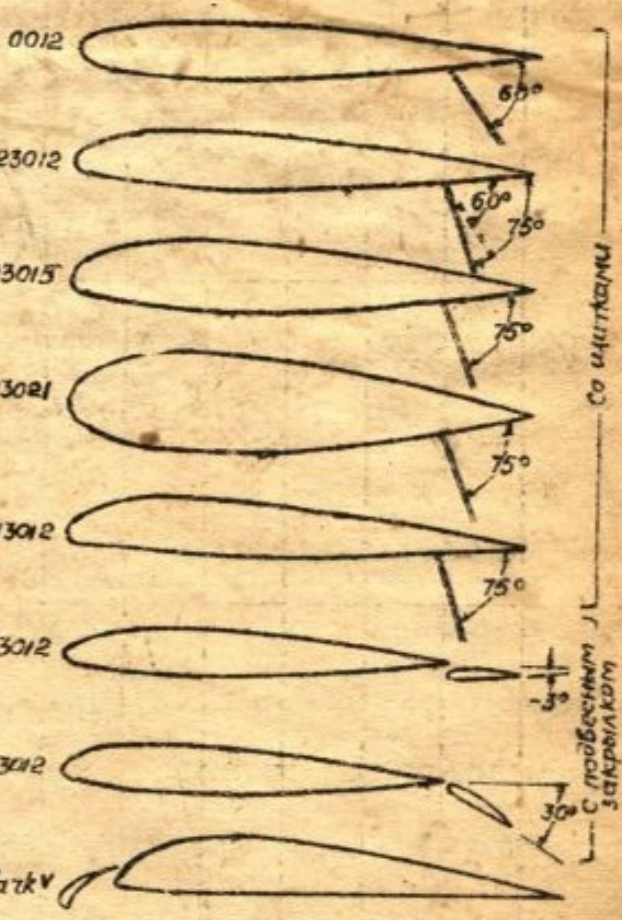
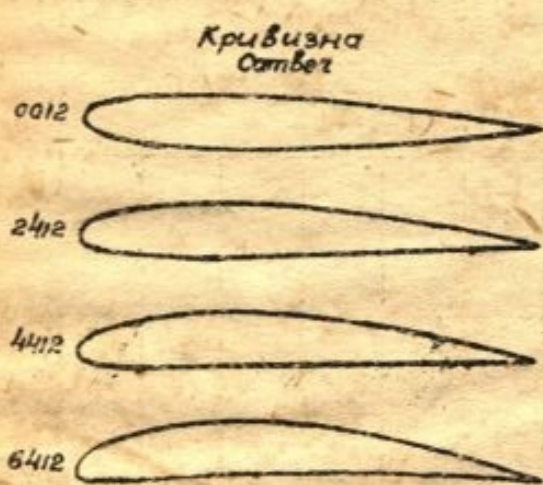
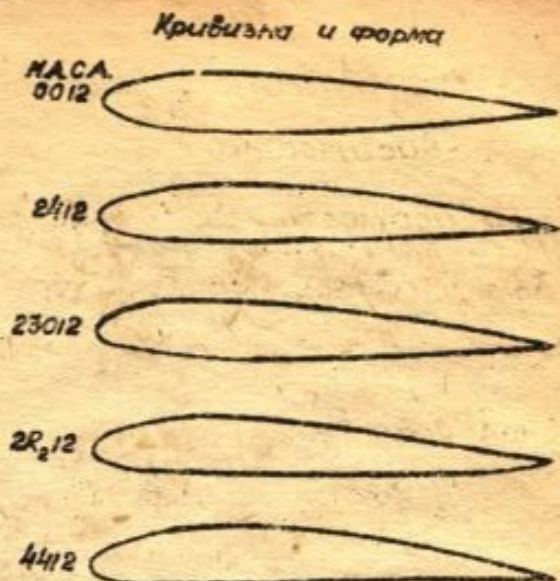
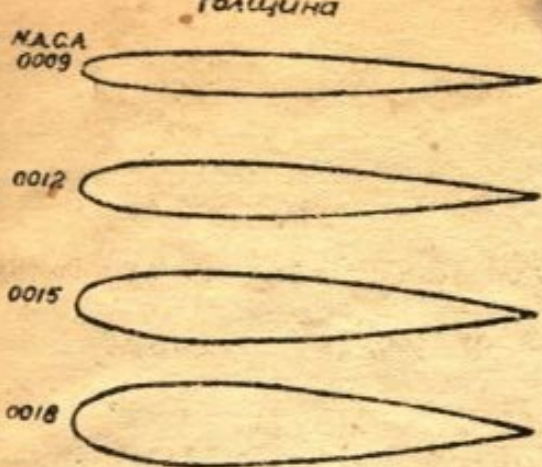
Задачей опытного изучения моделей является определение

этих зависимостей.

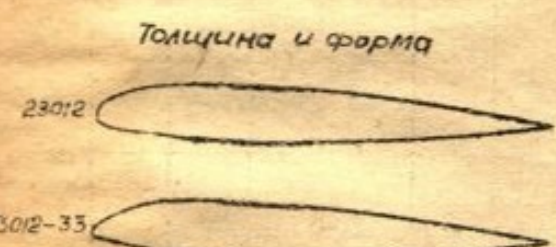
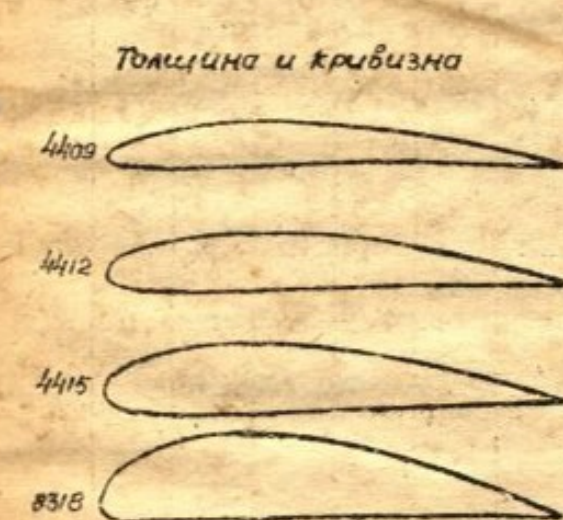
Зависимость C_x от формы некессущих моделей и Re дано выше в вып. I. Здесь приводится аналогичное исследование определения зависимости C_x и $C_{y\max}$ для крыльев от формы крыльев и числа Рейнольдса Re .

(Фиг. Исп. на стр. 16').





5666

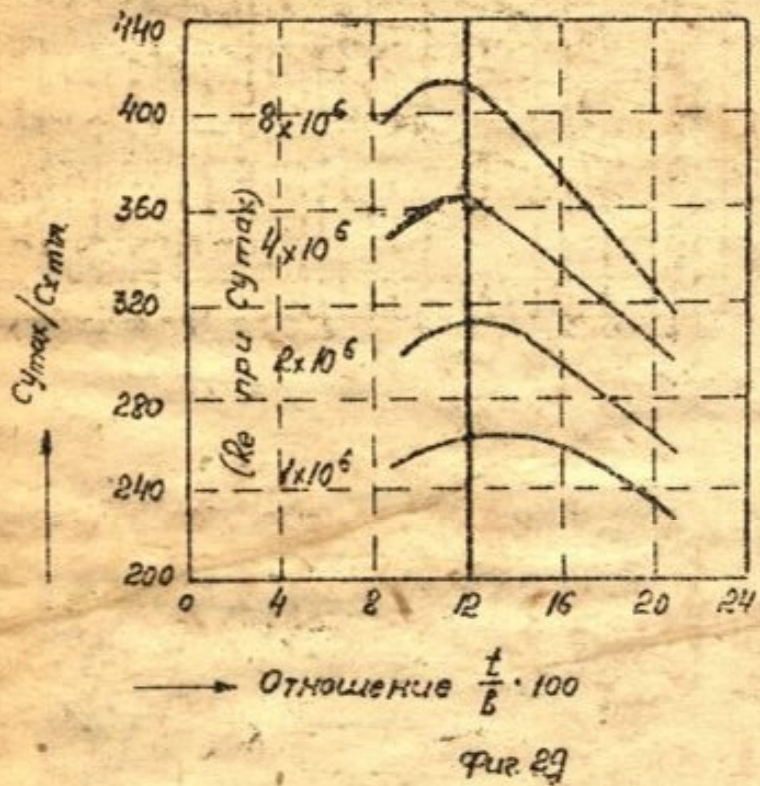


Результаты опытного изучения крыльев (МАСА, № 586)

Определение характеристик крыльев сделано для профилей представленных на фиг. 27.

На фиг. 28 приведены характеристики профиля МАСА № 6412 для разных Re .

На фиг. 29 даны зависимости отношений $\frac{C_{\text{сум}}}{C_{\text{хмн}}}$ от отношений $t/b \cdot 100$



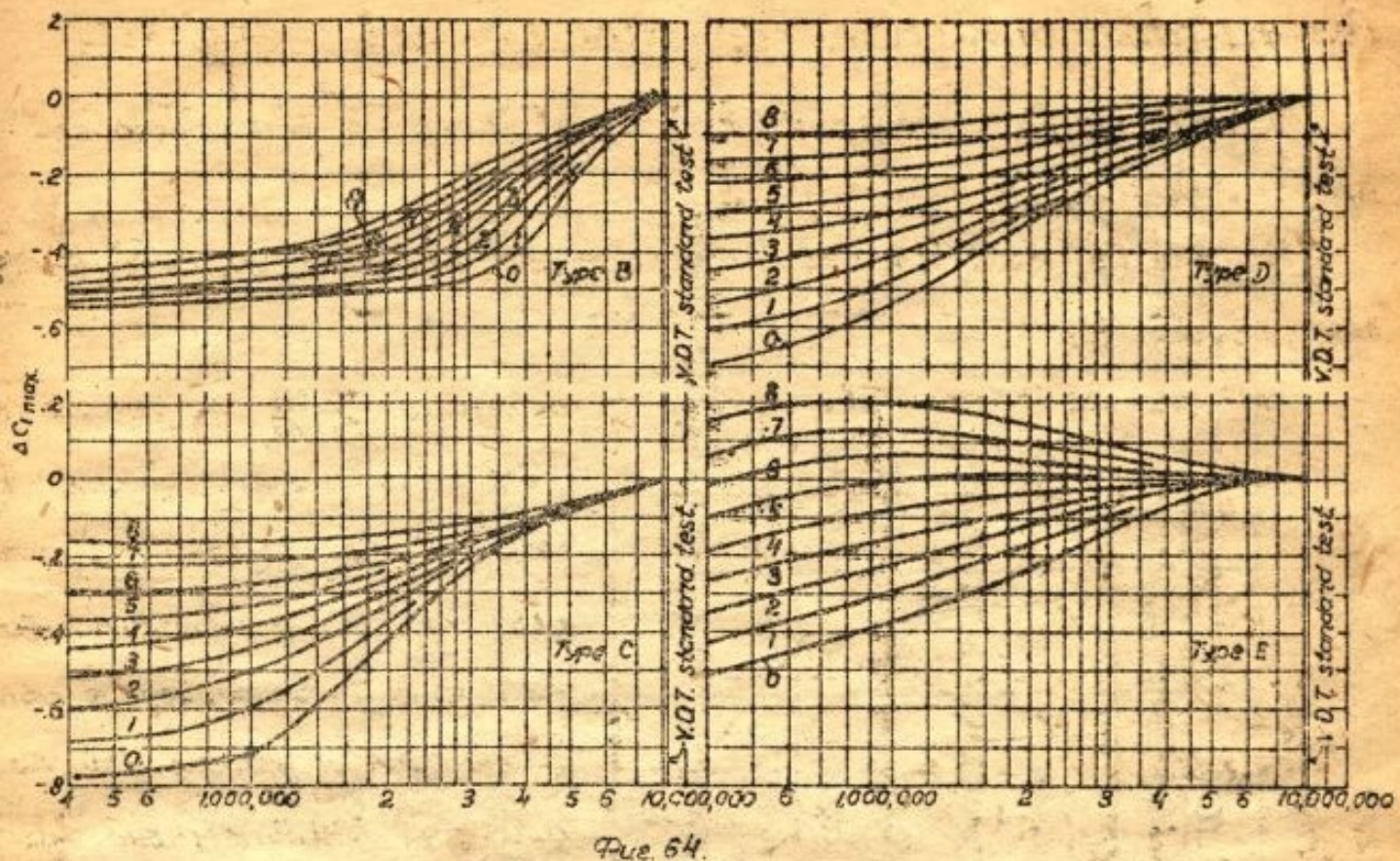
Фиг. 29

толщины профиля к хорде в процентах при разных числах Рейнольдса. Данные фиг. 29 относятся к профилю МАСА серии 230 со штиком отклоненным на 20° .

Как видно из фиг. 29 наибольшее значение $\frac{C_{\text{сум}}}{C_{\text{хмн}}}$ получается при разных значениях Re при разных $\frac{t}{b}$. Так как в области $\frac{C_{\text{сум}}}{C_{\text{хмн}}}$ отно-

шение это лишь немного изменяется, то как следует из кривых фиг. 29 наибывгоднейшее значение $\frac{t}{b} \cdot 100$ оказывается около 12 %.

Коэффициент $C_{\text{сум}}$. Для серии изученных профилей, представленных на фиг. 27, значения $C_{\text{сум}}$ приведены ниже в таблице II для значений $Re \sim 8 \times 10^6$ - число Рейнольдса нетурбулентного потока. Если расчетное R отличается от Re , то необходимо определить по фиг. 30 (стр. 18) корректив $\Delta C_{\text{сум}}$ и прибавить его к $C_{\text{сум}}$, приведенному на таблице II.



D_2	8,10	2,54	-15,6	0,035	0,201	-0,228	1,2
D_2	8,37	1,73	-1,1	0,038	0,10	0,081	1,1
D_2	8,21	2,70	-16,2	0,086	0,190	-0,245	1,0
D_2	8,21	1,50	-1,2	0,092	0,07	0,005	2,3
E_2	8,13	2,74	-16,5	0,094	0,191	-0,300	2,3
E_2	8,39	1,84	-2,3	0,100	0,26	0,0079	1,0
D_4	8,24	2,65	-17,3	0,082	0,200	-0,225	1,0
D_4	8,21	1,68	-9,0	0,101	0,069	0,009	0,5
D_4	8,14	2,46	-13,8	0,102	0,45	0,0161	8
D_4	8,08	2,06	-6,3	0,099	0,76	-0,260	0,5
D_4	8,08	1,09	0,0248	8

Примечание 1. Характеристики приведены

к бесконечному размаку.

2. Чисры на кривых фиг. 30 обозначают кривизну профиля

определение которой показано

на прилагаемой фигуре.



3. В столбце I эти последние

чисры обозначают толщину профиля $\frac{h}{8} \cdot 100$, определение которой показано

обозначает 12% профиля

$$\frac{\Delta}{8} \cdot 100 = 12\%$$

4. Аэродинамический центр (а.ч.) — точка сечения профиля, относительно которой коэффициент C_D

стремится сохранить постоянное значение в пределах изменения C_D от 0 до суммы

Коэффициент $C_{x\min}$.

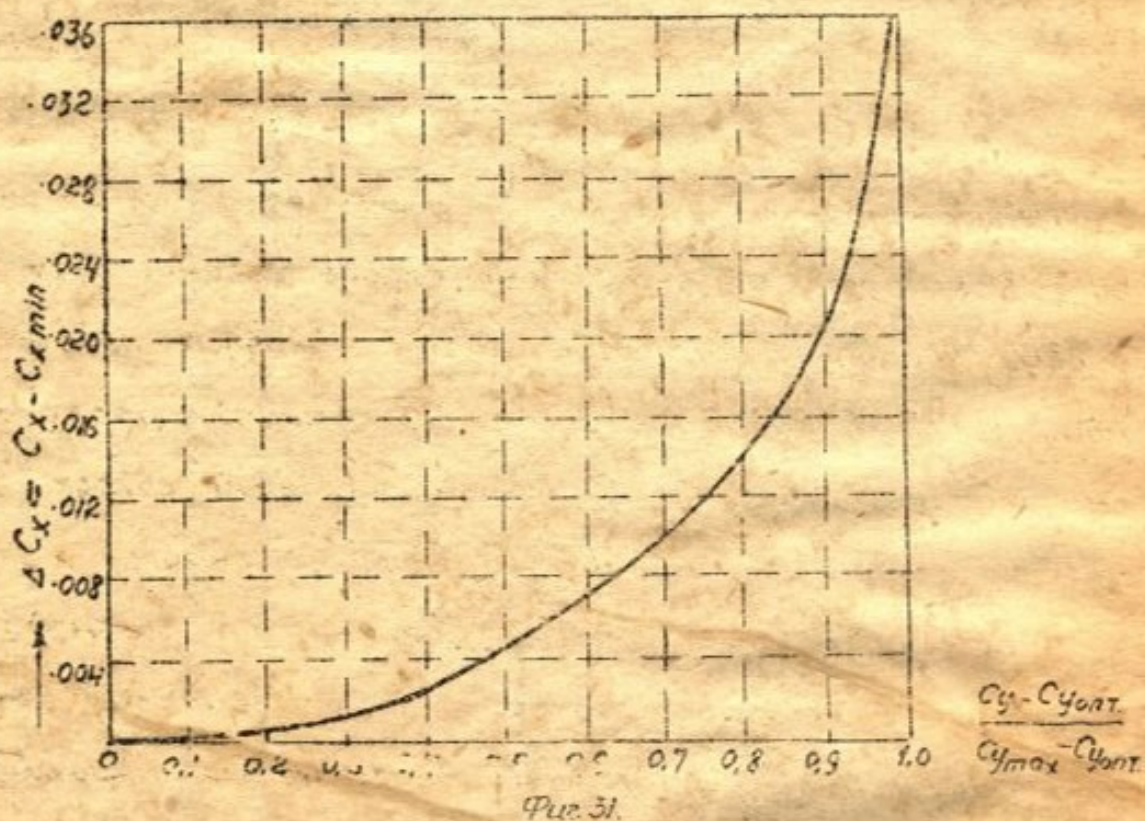
По данным таблицы II находится $C_{x\min}$ выбранного профиля испытываемого при числе Рейнольдса $R_e \sim 8 \times 10^6$. Если число Рейнольдса будет различаться от R_e , то значение $C_{x\min}$ при числе Рейнольдса R находится по соотношению:

$$C_{x\min} = \left(C_{x\min} \text{ по табл. II } \right) \left(\frac{R_e}{R} \right)^{0.11}$$

Значение $C_{x\min}$ соответствует $C_y = C_{y\text{опт}}$ (оптимальному значению C_y). Если C_y отличается от $C_{y\text{опт}}$, то по фиг. 31 определяется значение $\Delta C_x = C_x - C_{x\min}$ и $C_x = C_{x\min} + \Delta C_x$. На фиг. 31 по оси абсцисс отложены значения

$$\frac{C_y - C_{y\text{опт}}}{C_{y\text{опт}} - C_{y\text{опт}}}$$

а по оси ординат ΔC_x . Значение $C_{y\text{опт}}$ при этом соответствует числу Рейнольдса R и определяется по табл. II и фиг. 33.



Фиг. 31.

БафтингОпределение бафтинга.

Этотм понятием определяется „более или менее неправильные выбрации частей аэроплана (напр. хвоста), вызванные вихревыми образованиями исходящих от других частей” (Journal R.A.S. 1934г. стр. 109).

Для пояснения явления бафтинга может служить описание, кильватерного течения, образованного за каким нибудь цилиндрическим телом (фиг. 31')

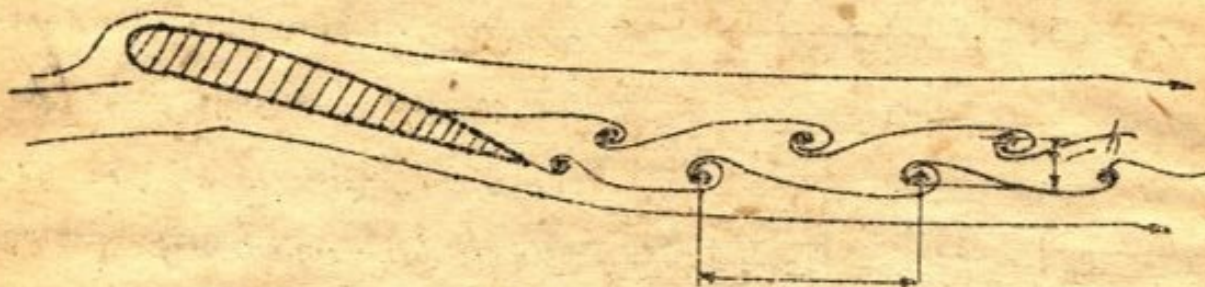


Непосредственно за телом *K* образуется „мертвое пространство”, в котором имеется очень слабое течение. Это пространство с двух сторон *A* и *B* ограничено вихревой пеленой, составленной из двух рядов интенсивных вихрей, расположенных в шахматном порядке. Снаружи вихревой области воздух проходит стройным незавихренным течением.

Такое состояния течения сохраняется на некотором расстоянии; далее наблюдается дифузия вихрей; частицы воздуха при этом перемешиваются и движение переходит в трехмерное. При изучении движения помошью трубки Пито найдено, что полный напор, определяемый трубкой, вне завихренного пространства сохраняет почти постоянное значение; в мертвом пространстве полный напор значительно меньше, чем снаружи его.

На границе этих областей (в вихревой пелене) наблюдается

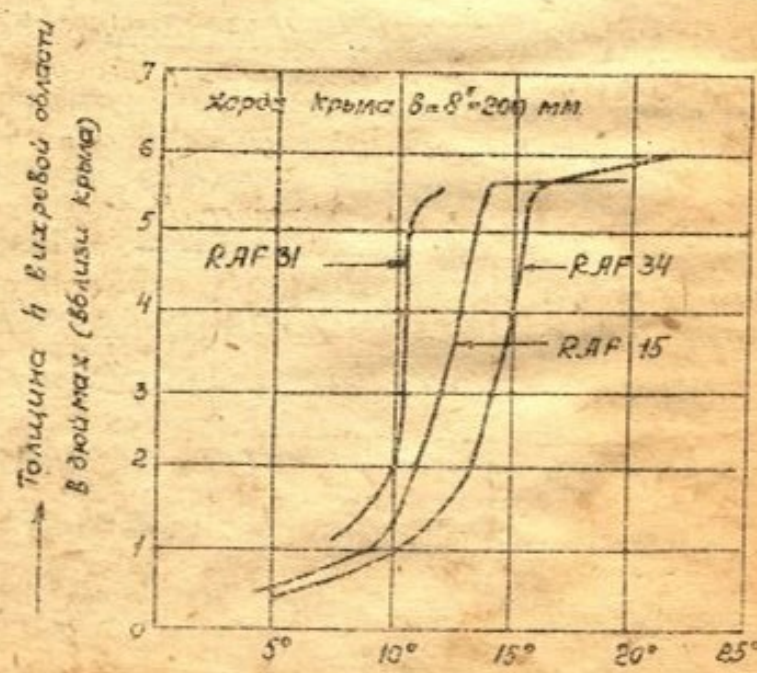
значительные пульсации потока. Аналогичная картина наблюдается за крылом; величина завихрений находится в зависимости от угла атаки.



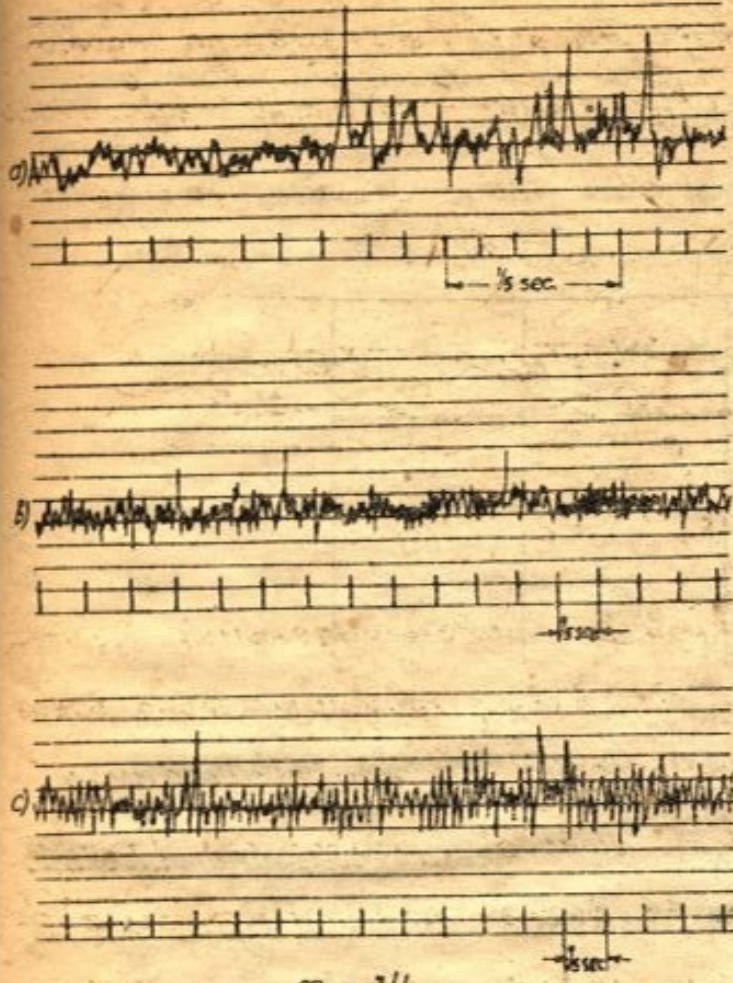
Фиг. 32

Если изучать движение за крылом при значительных углах атаки, начиная от угла атаки $\alpha \approx \alpha_k$, приблизительно вдвое больше критического, то обнаруживается, что при постепенном уменьшении угла α завихренная полоса суживается. Частоту образования вихрей, т.е. количество вихрей одного ряда, проходящих в одну секунду через какуюнибудь неподвижную точку, при этом увеличивается; течение становится все более неустойчивым. При прохождении угла α через критический α_k наблюдается внезапное сжатие вихревой области при соответствующем значительном увеличении частоты образования вихрей (см. фиг. 33). При дальнейшем уменьшении угла атаки ($\alpha < \alpha_k$) вихревая полоса еще более уменьшается; также при этом уменьшается интенсивность вихрей.

При изучении пульсаций потока помощью термоэлектрического анемометра (см. Экспериментальн. аэродин. стр. 154) получилась картина пульсаций, представленная для крыла RAF 31 на фиг. 34

 α - угол атаки

Фиг. 33



фиг. 34

Проболка анемометра расположалась параллельно размаху крыла на расстояниях от выходного ребра = 0,21 б., 0,39 б., 0,36 б. как указано на фиг. 34.

Фиг. 34 а относится к углу α немного меньше 0° ; на фигуре виден внезапный переход от режима слабых пульсаций к режиму значительных пульсаций, обнаруживая этим нерегулярность пульсаций на этом режиме.

Фиг. 34 в относится к углу атаки α немного $> 0^\circ$ и указывает на большую регулярность движения и меньшую частоту пульсаций.

При большем угле α на фиг. 34 с, частота пульсаций почти та же, но более правильна.

Результаты этого исследования представлены на таблицах I и II.

Таблица I

Изменения частоты образования вихрей и наибольшей скорости пульсации в зависимости от скорости потока.

Угол атаки $\alpha = 15^\circ$; измерялось в точке на расстоянии = 2 б. сверху и 0,36 б. ниже выходной кромки.

Скорость воздуха U_0 м/сек.	Частота образования вихрей n	Частота/скорость $\frac{n}{U_0}$	Наибольшая скорость пульсации W_{\max}	Скорость пульсации Скорость воздуха $\frac{W_{\max}}{U_0}$
6	16	2,66	4	0,66
9	25	2,76	3,7	0,41
10,5	30	2,86	5,95	0,57
12	32	2,66	6,55	0,55

Таблица II

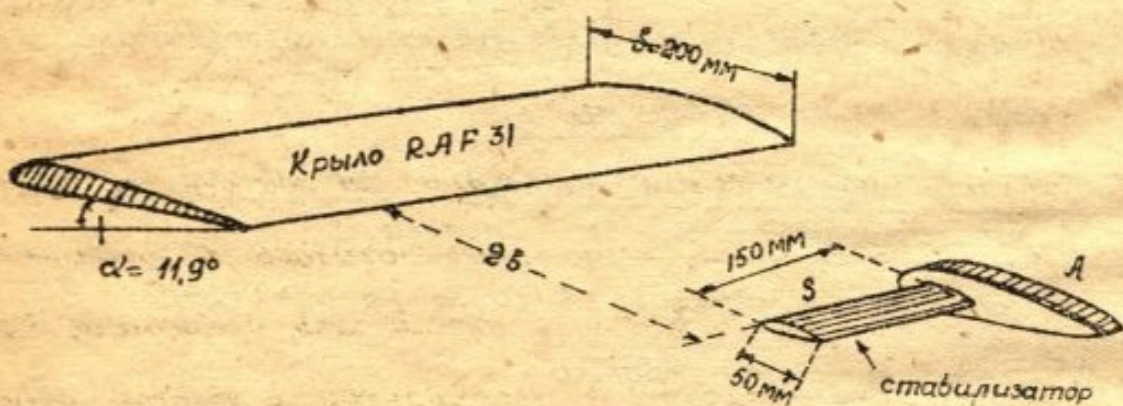
Изменения частоты образования вихрей и ширины вихревой области в зависимости от α

Ширина вихревой области измерялась на расстоянии 0,318 от выходной кромки. Скорость воздуха $U_0 = 9 \text{ м/с}$

α	ширина h вихревой обл. в м.	частота n	$\frac{h \cdot n}{U_0}$
$9,4^\circ$	0,056	67,5	0,42
$11,9^\circ$	0,143	27,3	0,43
15°	0,168	25,5	0,48

Изучение барринга на крыле бесконечного размаха.

На специально устроенным приборе изучалось в аэродинамической трубе колебательное движение стабилизатора. Крыло в трубе прямоугольного сечения укреплялось между стенками трубы; поток направлялся стенками и этим осуществлялись условия обтекания крыла бесконечного размаха.



Фиг. 35

Стабилизатор S (фиг. 35) укреплялся к неподвижной части помочью двух пружинок, расположенных у передней и задней кромок; поэтому стабилизатор мог совершать только колебательные движения изгиба (см. фиг. 35 а). Деформация стабилизатора измерялась углом отклонения его в радианах.

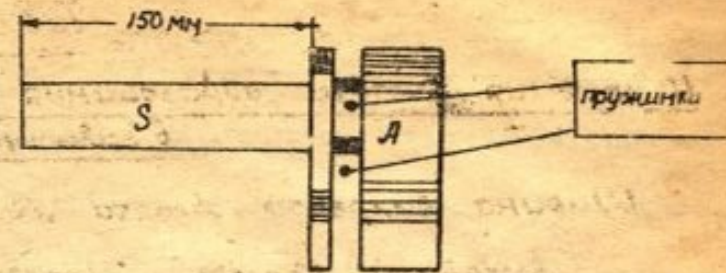
Результаты исследования крыла RAE 31 представлены на фиг. 36

крыло расположено под углом $\alpha = 11,9^\circ$
немного больше критического $\alpha_c = 10,6^\circ$.

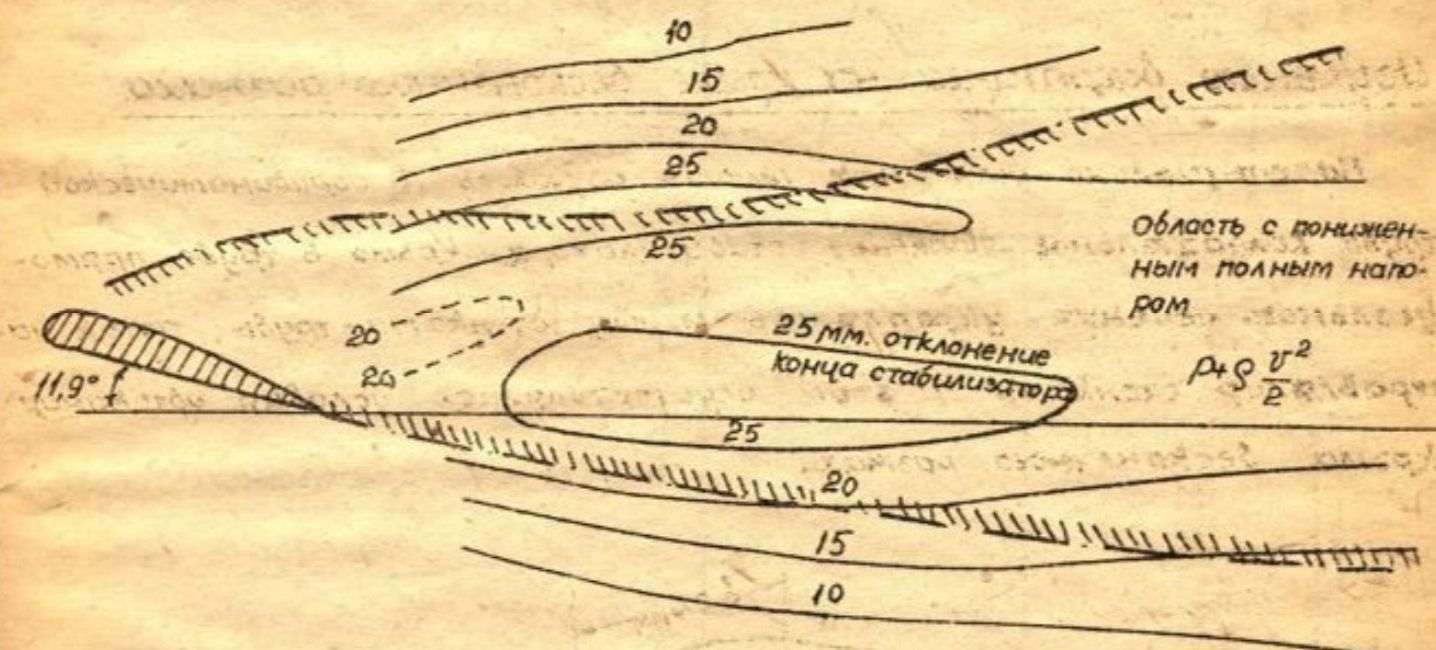
Сплошные линии обозначают
линии равной интенсивности бафтина.

Интенсивность бафтина

измерялась величиной отклонения конца стабилизатора при экспозиции в течение одной минуты (деформация измерялась фотографическим способом). Линия — ограничивает область постоянного полного напора, измеряемого трубкой Пито.



Фиг. 35а



Фиг. 36.

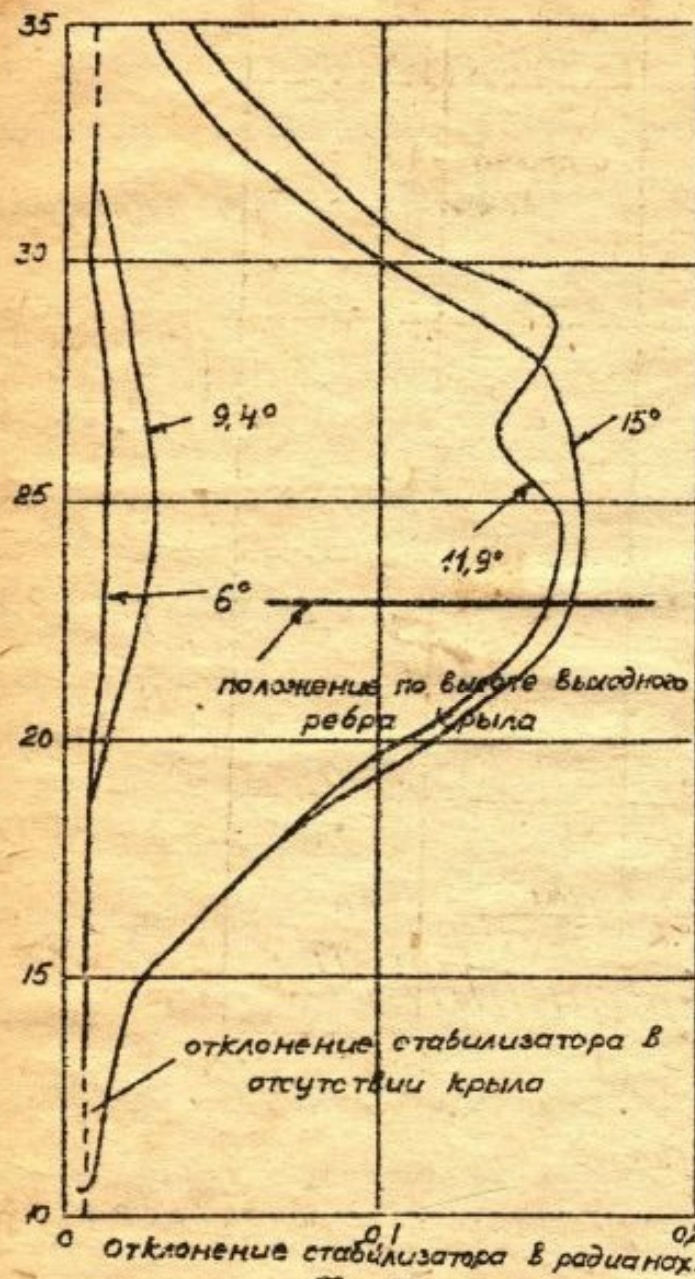
Цифры, поставленные у линий постоянной интенсивности бафтина обозначают отклонения конца стабилизатора в миллиметрах.

На основании этого исследования можно сделать следующие выводы:

1. Наиболее интенсивный бафting наблюдается в области пониженного напора.
2. В месте расположения стабилизатора, обычно устраиваемого на практике, бафting уменьшается при перемещении стабилизатора вниз.
3. Перемещение стабилизатора вперед или назад имеет слабое влияние на интенсивность бафтина (Журнал R.A.S. 1934 г., стр. 115).

Влияние угла атаки.

Изменение угла атаки влияет значительно на интенсивность бафтина. Это влияние представлено графически на фиг. 37 для крыла RAF 31, стабилизатор расположен на расстоянии 28 за крылом; упругость стабилизатора $M_s = 0,125 \text{ кг.м. на 1 радиан}$ ^{*)}.



Фиг. 37

Скорость воздуха $V_0 = 12 \text{ м/с}$

Критический угол атаки $\alpha_k = 10,6^\circ$

При приближении к углу α_k , как видно из фиг., происходит внезапное нарастание интенсивности бафтина.

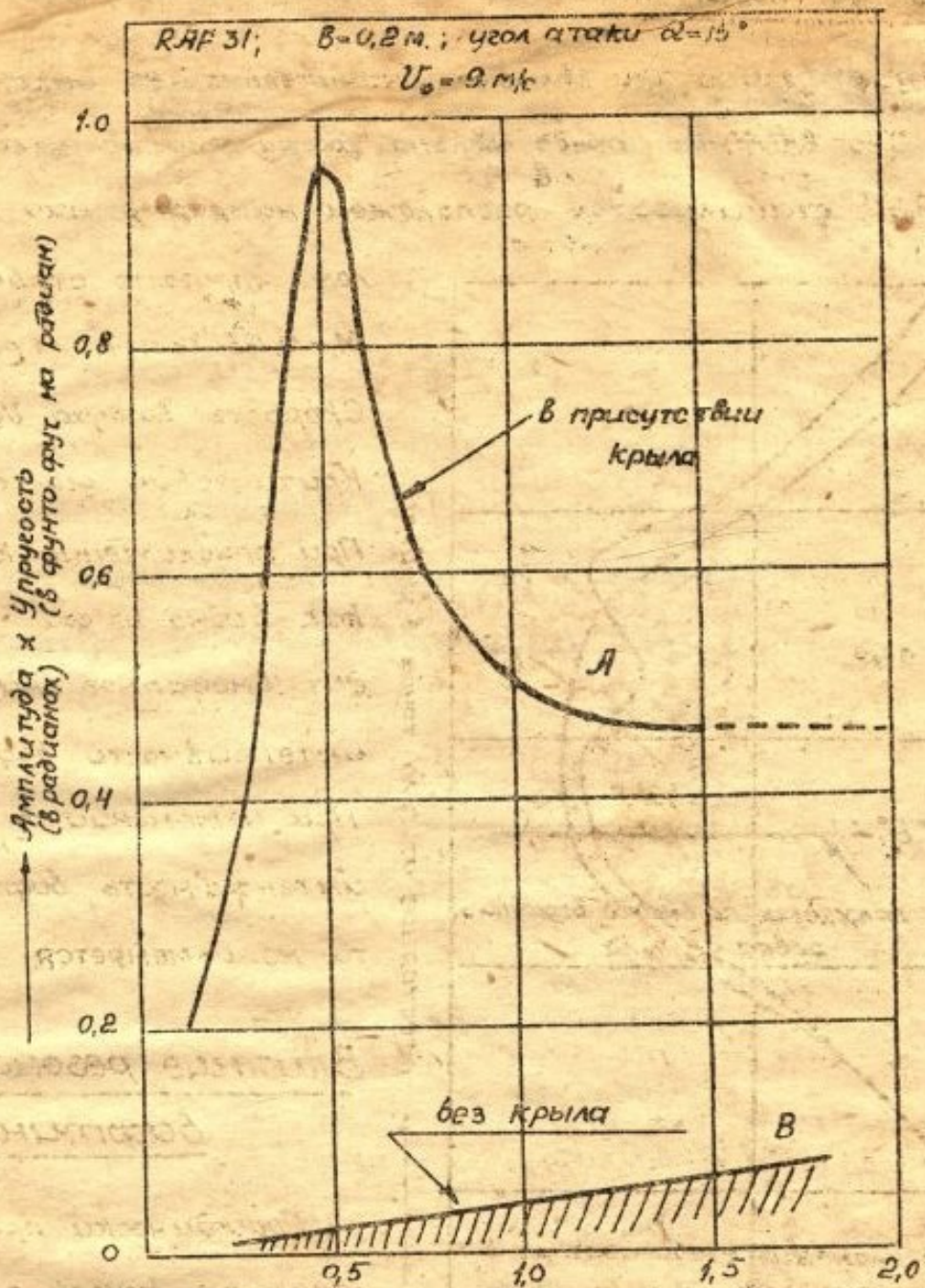
При изменении от $11,9^\circ$ до 15° интенсивность бафтина почти не изменяется.

Влияние резонанса на бафтины

Периодическое правильное отделение вихрей от поверхности крыла должно создавать периодически действующую силу на стабилизатор. При

этом возможно ожидать явления резонанса, когда частоты упругих колебаний стабилизатора совпадают (или будут кратными) с частотами образования вихрей. Для обнаружения явления резонанса было исследовано влияние на бафтины величины упругости стабилизатора. Результаты этого исследования представлены на фиг. 38 (стр. 27). Как следует из опыта наибольшая амплитуда

^{*)} Момент, вызывающий угол изгиба в 1 радиан.



Фиг. 38

соответствует значению упругости стабилизатора $M_i = 0,52 \text{ фун.фрут.} = 0,043 \text{ кг/м}$. Это соответствует частоте свободных колебаний

$$\pi = \frac{1}{2\pi} \sqrt{\frac{M_i}{J}} = 24,5 \text{ в секунду}$$

где J - момент инерции относительно оси колебаний. По таблице II при угле атаки 15° , соответствующем данному опыту частота образования вихрей $\pi=25,5$, что достаточно близко к величине 24,5 свободных колебаний. Частота образования вихрей может быть приближенно определена по соотношению:

$$\pi = 0,8 \frac{V_0}{B} \text{ с точностью } \pm 25\%.$$

Здесь U_0 - скорость воздуха в м/сек.; b - хорда (средняя) в м.

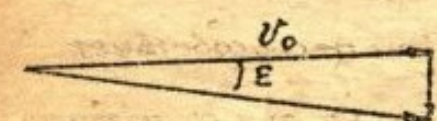
Влияние скорости на колебания при баротинге естественно такое, что амплитуда колебаний должна быть пропорциональна квадрату скорости (U_0^2) и обратно пропорциональна упругости стабилизатора.

Внезапное изменение угла атаки не оказывает заметного влияния на величину амплитуды при баротинге.

Точно также форма профиля крыла не оказывает влияния в случае крыла бесконечного размаха. Из этого не следует, что форма профиля крыла не оказывает влияния на баротинг при присоединении крыла к фюзеляжу.

Баротинг при крыле конечного размаха.

Влияние концов крыла несколько изменяет форму потока и условия возникновения баротинга. Под влиянием отходящих вихрей к скорости U_0 присоединяется скорость снижения w . Ско-



рость w не одинакова по длине крыла: w большее значение она имеет на концах крыла и наименьшее посередине; при наличии w угол атаки α (действительный) уменьшается на

$$\delta = \frac{w}{U_0} = \frac{1}{\pi} \frac{b}{c} \text{ Сутах},$$

Поэтому геометрический угол α_E должен быть больше α_K бесконечного размаха.

Из опыта с крылом RAF 31 с удлинением $\frac{c}{b}=6$ найдено, что срывы потока раньше всего начинаются посередине крыла, позже на концах; углы атаки при том же баротинге оказались больше соответственных углов атаки крыла бесконечного размаха: вместо $9,4^\circ$ и $11,9^\circ$ (см. фиг. 37) при бесконечном размахе получались $10,7^\circ$ и $13,2^\circ$, при крыле конечного удлинения 6.

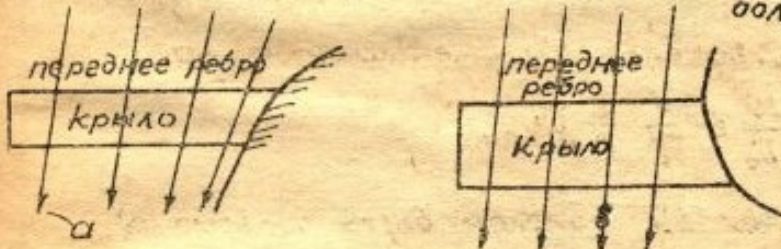
Исследование интенсивности бафтина по размаху обнаружило, что в центральной части крыла бафting имеет ту же величину, как и у крыла бесконечного размаха. У концов крыла бафting уменьшается значительно; это указывает, что вращательное движение вихрей сходящих с концов крыла совершается без пульсаций и не создает условий для проявления бафтина.

Бафting в условиях аэроплана.

При изучении бафтина на отдельном крыле выяснено, что явление бафтина наступает при угле атаки близком к критическому, когда происходит нарушение сплошности движения и образование развитой звихренной области.

При комбинации крыла с фюзеляжем явление бафтина наступает ранее и увеличивается в интенсивности, если в соединении крыла с фюзеляжем создаются условия, способствующие раннему срыву потока с крыла и образованию вихревых движений.

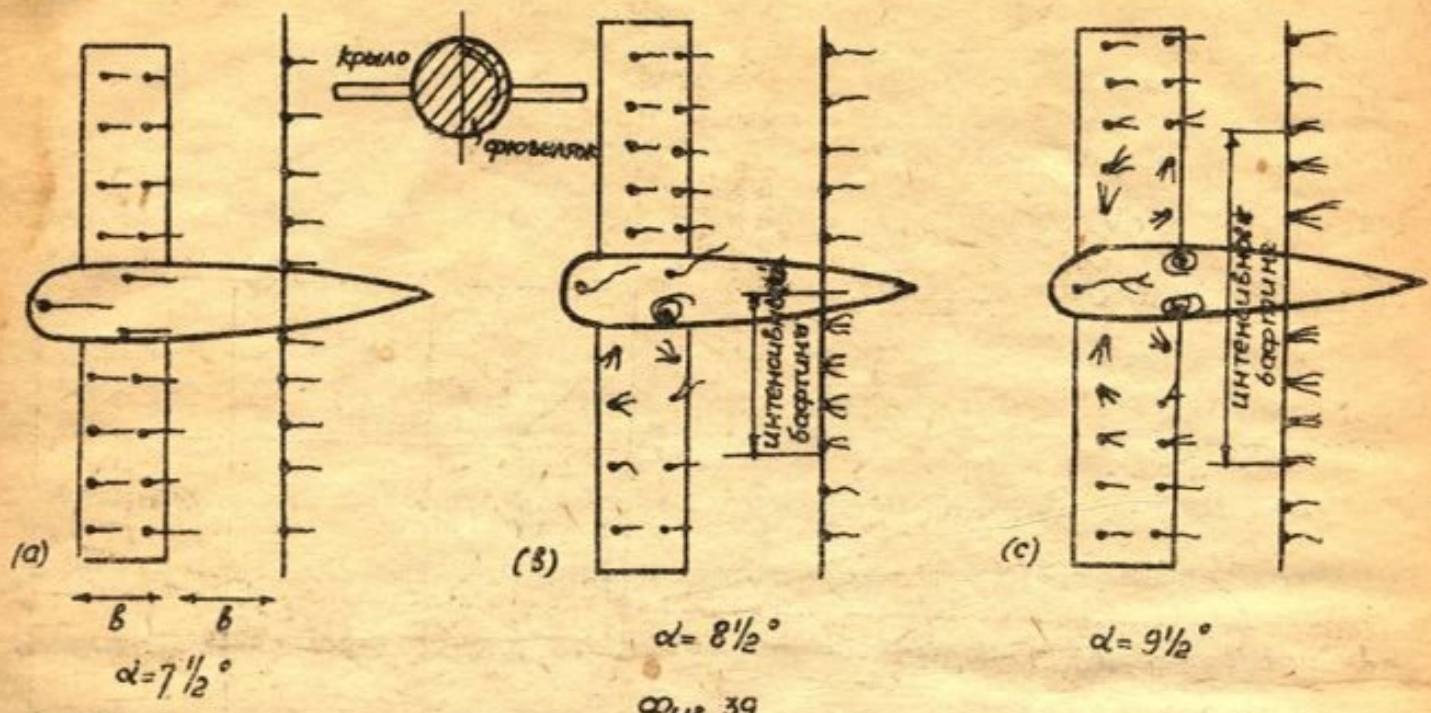
Всякое расширение потока при обтекании крыла способствует более раннему образованию срывов; расположение на фиг. а поэтому более рационально.



Исследование бафтина помошью флагжков.

Параллельное изучение пульсаций помошью описанного выше эластичного детектора и флагжков показывает, что поведение в звихренном потоке нитяного флагжка внешне, по виду колебаний его соответствует вибрациям детектора; на этом основано исследование пульсаций помошью нитяных флагжков, укрепляемых на поверхности крыла и на проволоке вблизи места ожидаемого

бахтинга.



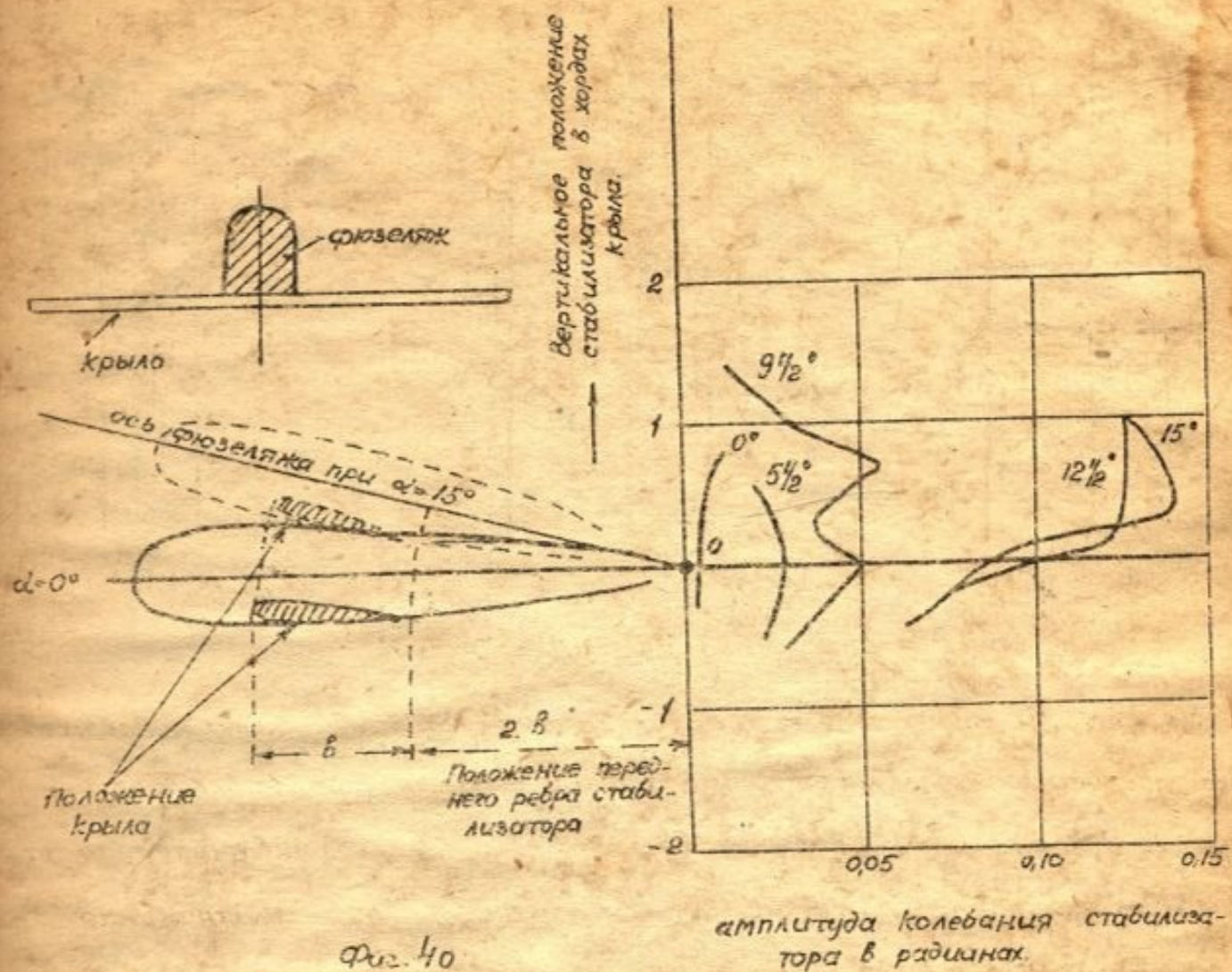
Фиг. 39

На фиг. 39 представлена картина течения возле крыла, укрепленного посередине фюзеляжа: при $7\frac{1}{2}^\circ = \alpha$ бахтинг не наблюдается; при $\alpha = 8, \frac{1}{2}^\circ$ неустойчивое состояние; завихрения появляются то на одной, то на другой половине крыла; при $9 \frac{1}{2}^\circ$ вся центральная часть проникнута завихрениями; при 12° по всему крылу происходит отрыв потока. На следующей таблице отмечены те же моменты при других расположениях крыла на фюзеляже.

	спокойное течение	перемещающийся срыв	срыв на средней части	срыв по всему крылу
	$\alpha \approx 7.5^\circ$	$\alpha = 8\frac{1}{2}^\circ$	$\alpha = 9\frac{1}{2}^\circ$	$\alpha = 12^\circ$
	$\alpha \approx 11^\circ$	$\alpha = 11\frac{1}{2}^\circ$	$\alpha = 11\frac{1}{2}-13^\circ$	$\alpha > 13^\circ$
	$\alpha < 6^\circ$		$\alpha = 11^\circ$	$\alpha = 12^\circ$

На фиг. 40 (стр. 31) представлены результаты изучения бахтинга при нижнем расположении крыла применением эластичного детектора.

При увеличении угла атаки α от 0° до $9\frac{1}{2}^\circ$ интенсивность бахтинга растет равномерно; после этого происходит значительное



Фиг. 40

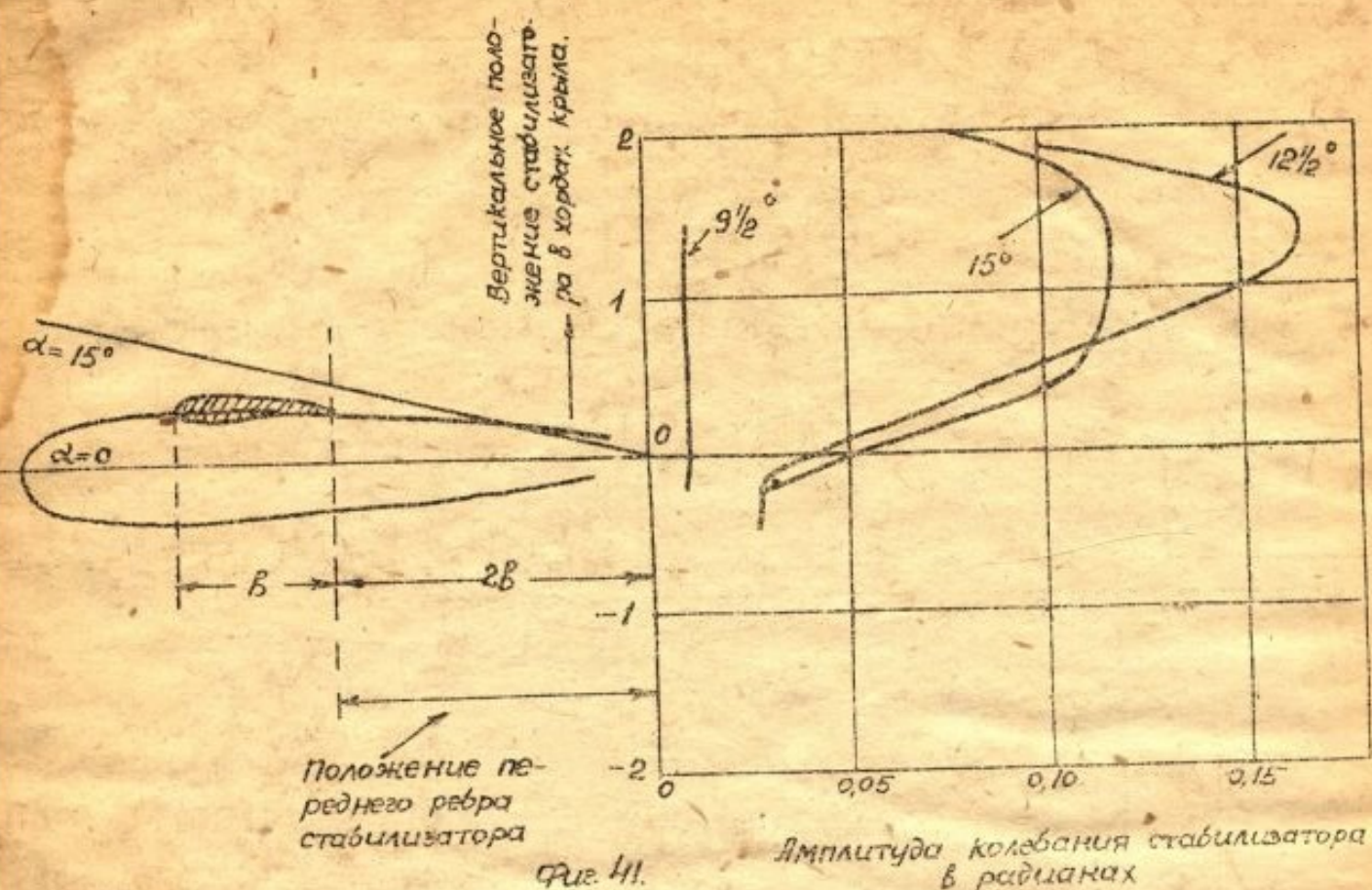
амплитуда колебания стабилизатора в радианах.

увеличение бафтина при положении стабилизатора выше средины фюзеляжа. При нижнем расположении стабилизатора интенсивность бафтина значительно меньше, чем при верхнем.

На фиг. 41 (стр. 32) представлены результаты исследования бафтина при верхнем расположении крыла. В данном случае практически нет явления бафтина при углах атаки меньше критического. При нормальном положении стабилизатора также отсутствует явление бафтина, и при $\alpha > \alpha_k$

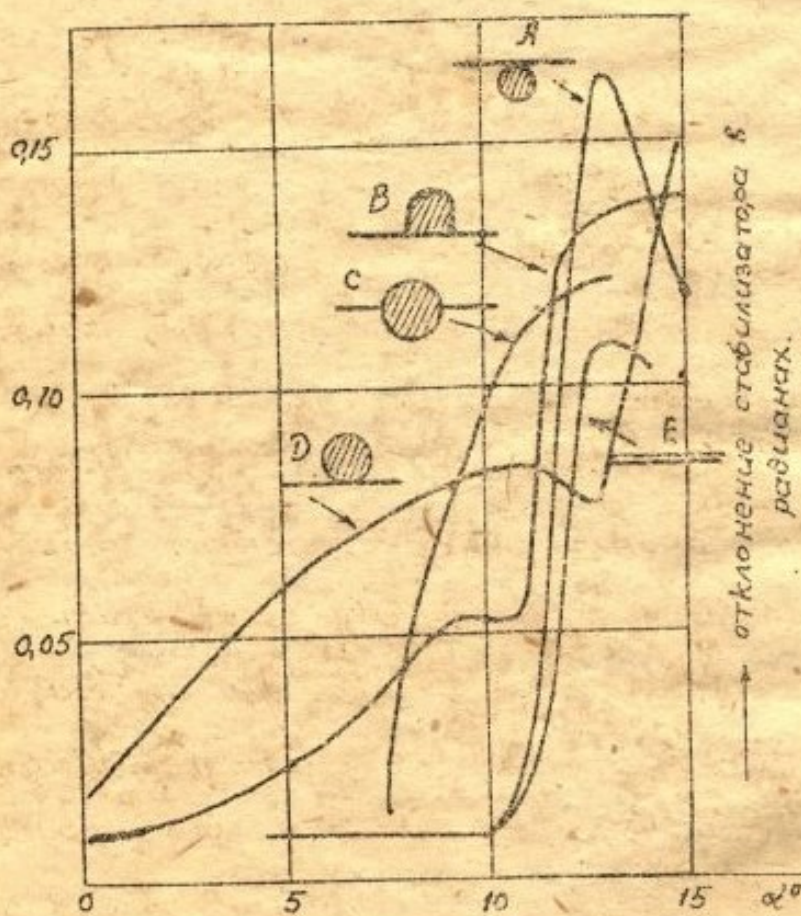
На фиг. 42 (стр. 32) представлена сводка результатов изучения бафтина при различном расположении крыла на фюзеляже. По ординатам отложены наибольшие отклонения стабилизатора при соответствующем положении его по вертикали.

Наибольшее влияние оказывает фюзеляж при низком расположении крыла (D). Верхнее расположение крыла (A) дает



Фиг. 41.

Амплитуда колебания стабилизатора
в радианах



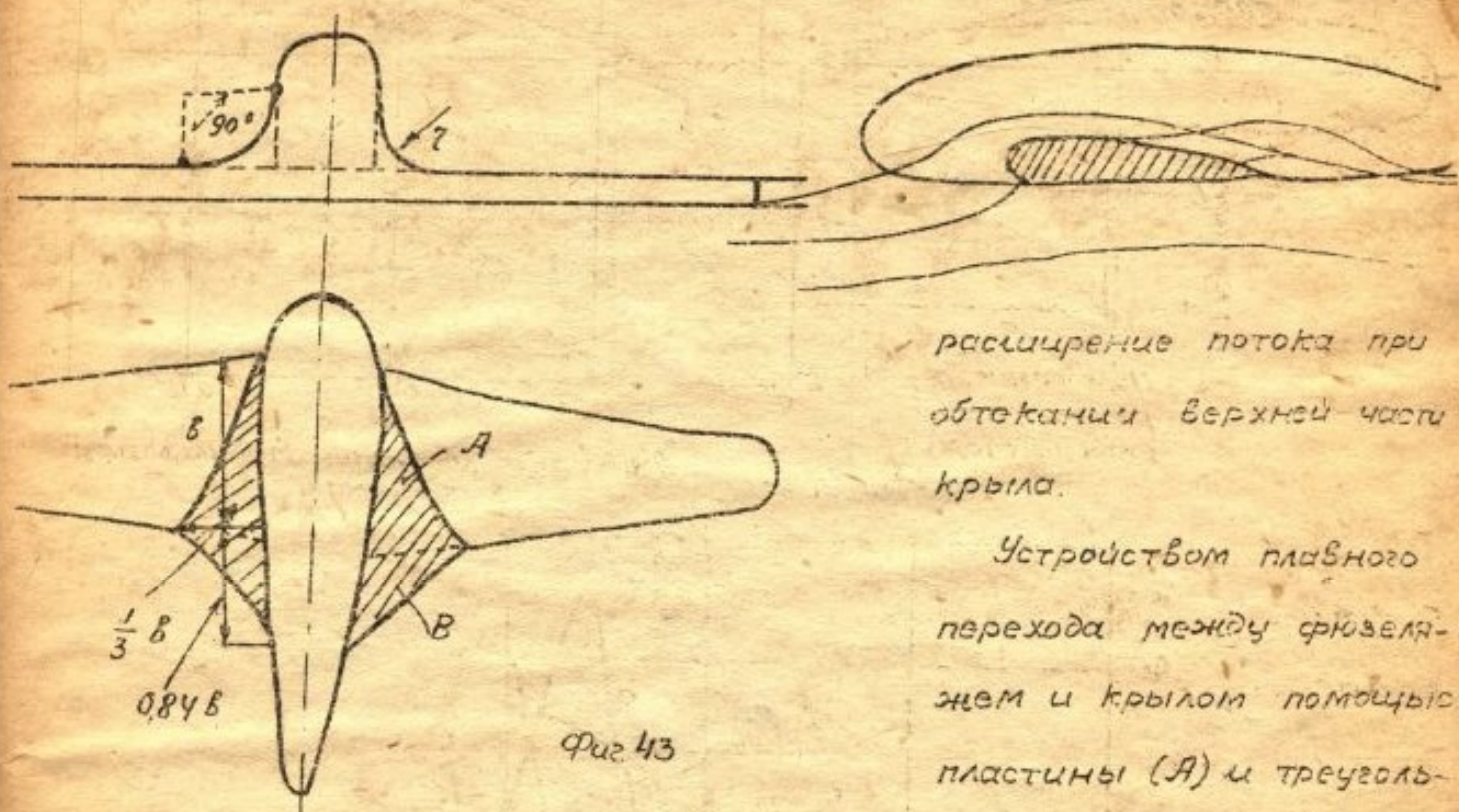
Фиг. 42

почти то же течение кривой Бартингса как и крыла без флюзелажа (E).

Средства предотвращения бафтина

Средствами предотвращения бафтина служат те, которые служат для предотвращения срыва потока с верхней стороны крыла.

1. Обтекатели (зализы). Образование вихрей способствует

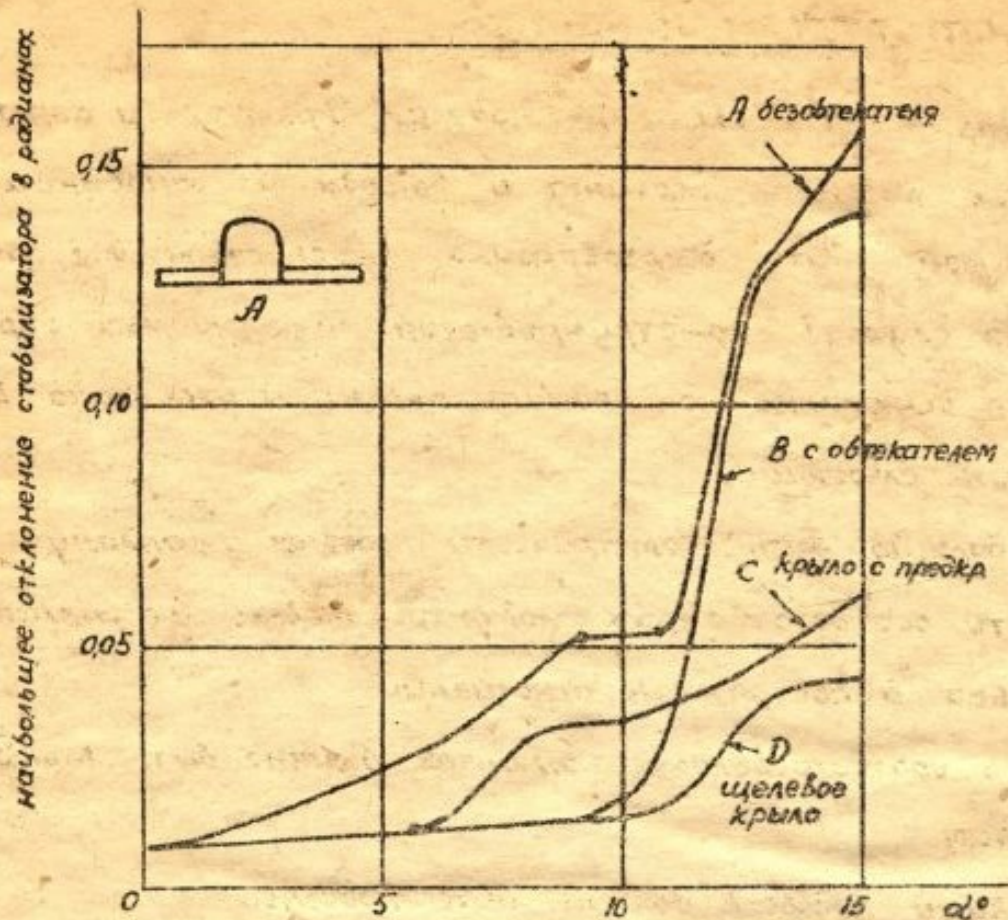


Фиг. 43

Устройством плавного перехода между фюзеляжем и крылом помочь пластинами (A) и треугольным продолжением крыла (B) возможно уменьшить кривизну потока и его расширение. Влияние этого на бафting видно из сопоставления результатов испытания на фиг. 44 (стр. 34) (сравнить кривые Я и В) для моноплана с D-образным фюзеляжем и нижним расположением крыла. Для углов атаки $\alpha \leq k$ при обтекателе бафting получается в такой же степени как и расположении крыла сверху фюзеляжа (см. кривую Я фиг. 42).

Обтекатель Я (фиг. 43) очерчивается дугой круга с $\angle 90^\circ$; у выходной кромки $\tau = \frac{1}{3} B$; к входной кромке τ уменьшается до нуля по линейному закону.

Треугольная часть В простирась назад на $0,84 B$. Нижняя часть поверхности обтекателя В части В составляет плавно продолжение нижней поверхности крыла. Верхняя



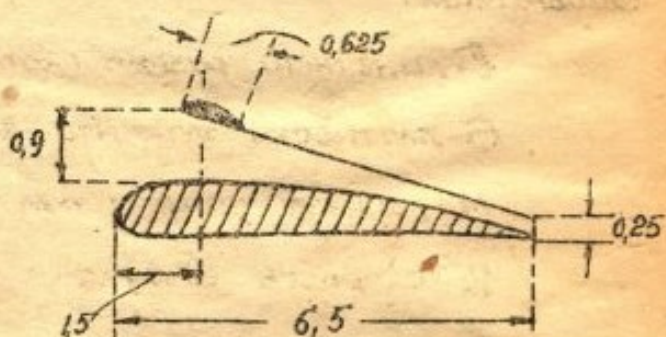
Фиг. 44

поверхность части В дугой кривой с радиусом, уменьшающимся к заднему концу (Journal R.A.S. 1934г., стр. 128).

2. Предкрылок. При устройстве предкрылка сверху крыла, как указано на фиг. 45, кривая барфинга представлена на фиг. 44 кривой (С)

3. Щелевое крыло Хэнлей - Пэдж.

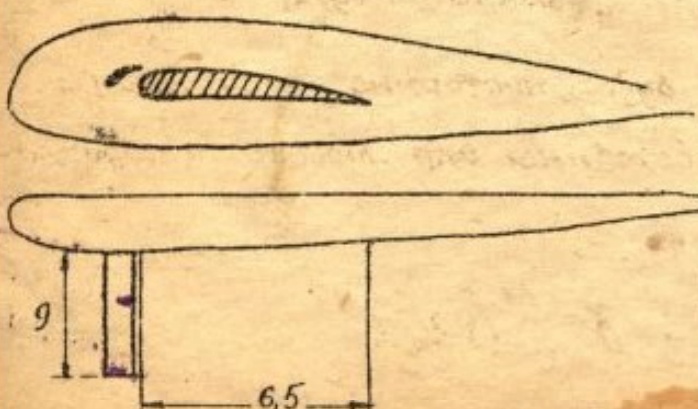
Результаты испытания представлены



Фиг. 45

на фиг. 44 кривой (D).

Таким образом из сравнения всех мер борьбы с барфингом следует, что наиболее действительным является щелевое крыло.



Переход от модели к натуре.

Описанные выше опыты на моделях крыльях и аэропланов по изучению явления багтинга и выводы на основании этого изучения не могут быть безоговорочно перенесены для других случаев и для случаев конструирования испытываемых аэропланов.

Условия динамического подобия модели и аэроплана в натуре должны быть следующие:

1. Модель должна быть геометрически подобна аэроплану.
2. Плотности соответственных элементов модели и аэроплана должны находиться в постоянном отношении.
3. Упругость соответственных элементов должна быть в постоянном отношении.
4. Конструкции подвесок должны быть подобны.
5. Масштабы при переходе от модели к натуре один, плотностей, упругостей и скоростей должны быть такие, чтобы отношения соответственных сил были те же, безразлично будут это силы инерции, упругости или аэродинамические.

Обозначим:

ℓ - линейный размер (напр хорда крыла)

σ - плотность элемента конструкции

M_i - момент упругих сил при деформации в 1 радиан.

V_0 - скорость воздуха.

ρ - плотность воздуха.

γ - кинематический коэффициент вязкости воздуха.

Отношения разного рода сил будет постоянно, если следующие три коэффициента будут постоянны для модели и аэроплана.

$$\alpha = \frac{\sigma}{\rho}; \quad \beta = \frac{V_0 \ell}{\gamma}; \quad \gamma = \frac{M_i}{\rho V_0^2 \ell^3}$$

